

TECHNICKÁ UNIVERZITA V LIBERCI
FAKULTA TEXTILNÍ

Katedra: Technologie a řízení konfekční výroby

Bakalářský studijní program: TEXTIL

Studijní obor: Technologie a řízení oděvní výroby – 3107R004

Zaměření: Konfekční výroba

Číslo: 369/07

Název bakalářské práce:

Využití laserové technologie pro řezání textilních materiálů ve vrstvách

Laser Technology utilization for the layer cutting of the textile materials

Řešitel BP: Jana Hanzlíková

Podpis

Vedoucí BP: RNDr. Ludmila Brichtová

Konzultant: Ing. Martin Kotačka

Rozsah práce: 63

Počet tabulek: 22

Počet obrázků: 26

Počet příloh: 2

Rozsah příloh: 85

Zadání bakalářské práce

P R O H L Á Š E N Í

Prohlašuji, že předložená bakalářská práce je původní a zpracovala jsem ji samostatně.

Prohlašuji, že citace použitých pramenů je úplná, že jsem v práci neporušila autorská práva (ve smyslu zákona č. 121/2000Sb. O právu autorském a o právech souvisejících s právem autorským).

Souhlasím s umístěním bakalářské práce v Univerzitní knihovně TUL.

Byla jsem seznámena s tím, že na mou bakalářskou práci se plně vztahuje zákon č 121/2000Sb. O právu autorském, zejména §60 (školní dílo).

Beru na vědomí, že TUL má právo na uzavření licenční smlouvy o užití mé bakalářské práce a prohlašuji, že **souhlasím** s případným užitím mé bakalářské práce (prodej, zapůjčení apod.).

Jsem si vědoma toho, že užít své bakalářské práce či poskytnout licenci k jejímu využití mohu jen se souhlasem TUL, která má právo ode mne požadovat přiměřený příspěvek na úhradu nákladů, vynaložených univerzitou na vytvoření díla (až do jejich skutečné výše).

Beru na vědomí, že si svou bakalářskou práci mohu vyzvednout v Univerzitní knihovně TUL po uplynutí pěti let po obhajobě.

V Troubkách dne 2.5.2007

.....

podpis

PODĚKOVÁNÍ

Tento cestou bych chtěla poděkovat vedoucí bakalářské práce paní RNDr. Ludmile Brichtové a konzultantovi panu Ing. Martinovi Kotačkovi za odborné vedení a pomoc při vypracování bakalářské práce.

Dále bych ráda poděkovala všem firmám, které mi poskytly vzorky svých materiálů, zejména firmě Přidal s.r.o. za poskytnutí informací, a možnost realizace experimentů.

V neposlední řadě bych ráda poděkovala rodičům, přátelům a známým za podporu po celou dobu studia.

Abstrakt

Název práce: **Využití laserové technologie pro řezání textilních materiálů ve vrstvách**

Úvodní část práce je zaměřena na podstatu laserového záření, zabývá se typy laserů a jejich mnohostranným využitím. V další části se zabývá druhy a vlastnostmi textilních materiálů, a jejich analýzou.

Hlavní část práce se soustředí na řezání textilu laserovým paprskem, řeší zde samostatný řezný proces a teoretický model, který se snaží popsat tuto technologii.

V experimentální části je realizován proces laserového řezání na 30-ti vzorcích v jedné, třech a pěti vrstvách. Tyto vzorky jsou následně hodnoceny z hlediska kvalitativního, ale také z hlediska energetické náročnosti procesu.

Cílem práce je zjistit vhodné parametry laseru pro různé druhy textilních materiálů, aby bylo dosaženo nejvyšší kvality řezu, a to porovnáním řezného procesu pro jednu a více vrstev textilních materiálů tak, abychom mohli posoudit, zda je řezání laserem ve vrstvách v běžném provozu využitelné a ekonomicky srovnatelné s dosud využívanými způsoby.

Klíčová slova:

Laser

Textilní materiály

Oddělovací proces

Kritická rychlosť

Energie oddělování

Řezání

Laserové řezání

Abstract

Title subjekt: **Laser Technology utilization for the layer cutting of the textile materials .**

The introductory of this study is concentrating on the substance of the laser radiation, it's occupying with laser types and their many-sided utilization. Another part of the study is occupying with sorts and characteristics of textile materials and their analysis.

The main part of study is concentrating on the textile cutting by a laser beam, it's trying to solve the original cutting process, the theoretical model trying to describe this technology.

In the experimental part there is a process of laser cutting realized with 30 specimens in one, three and five layers. These specimens are assessed from the qualitative standpoint and from the energy exactingness standpoint as well.

The aim of this study is to find out fitting laser parameters for various textile material sorts to make the highest quality cut by comparing the cutting process for one and more textile material layers to be able to judge if the laser cutting in layers is utilizable in a usual operation and if it is economically comparable with methods used up to now.

Pivotal words:

Laser

Textile materials

Cutting process

Critical speed

Cutting energy

Cutting

Laser cutting

OBSAH

| | |
|---|-----------|
| PROHLÁŠENÍ | |
| PODĚKOVÁNÍ | |
| ABSTRAKT | |
| OBSAH | 7 |
| SEZNAM POUŽITÝCH ZKRATEK | 8 |
| 1. ÚVOD | 10 |
| 2. LASERY A JEJICH VYUŽITÍ V PRŮMYSLU | 11 |
| 2. 1. Podstata laserového záření | 11 |
| 2. 2. Využití laserů | 13 |
| 3. VLASTNOSTI TEXTILNÍCH MATERIÁLŮ | 15 |
| 3. 1. Přírodní materiály | 15 |
| 3. 2. Chemické materiály | 18 |
| 3. 3. Nepolymerní materiály | 21 |
| 4. ŘEZÁNÍ LASEROVÝM PAPRSKEM | 24 |
| 4. 1. Princip řezání | 24 |
| 4. 2. Matematický model | 25 |
| 4. 3. Teoretický popis interakce tkaniny s laserovým paprskem | 27 |
| 4. 4. Zařízení pro oddělování laserem | 32 |
| 5. REALIZACE PROCESU ŘEZÁNÍ | 33 |
| 5. 1. Řezání materiálů ve vrstvách | 34 |
| 5. 2. Specifikace laserového záření | 35 |
| 5. 3. Prezentace vybraných vzorků | 42 |
| 5. 4. Ověření matematického modelu se vzorkem č. 31 | 50 |

| | |
|------------------------------|-----------|
| 6. ZÁVĚR | 58 |
| 7. POUŽITÁ LITERATURA | 59 |
| 8. PŘÍLOHY | 62 |

Seznam použitých zkratek

| | |
|-------------------------|--|
| E | energie [J] |
| P | výkon laserového systému [W] |
| t_p | doba působení na materiál v ohnisku laserového paprsku [s] |
| E_p | energie využitá pro ohřátí exponovaného elementu tkaniny na bod teplotu tání [J] |
| E_k | energie využitá pro ohřátí exponovaného elementu tkaniny na bod varu [J] |
| E_{kp} | energie potřebná k přechodu exponovaného elementu tkaniny z kapalného skupenství na plynné [J] |
| E_{pp} | energie využitá pro ohřátí exponovaného elementu tkaniny v plynném skupenství [J] |
| E_{pk} | energie pro transformaci z pevného stavu do stavu kapalného [J] |
| E_o | energie oddělování [J] |
| m_e | hmotnost elementu, který příjme energii [kg] |
| c_p | měrná tepelná kapacita v pevném skupenství [$J \cdot kg^{-1} \cdot K^{-1}$] |
| t_t | teplota tání tkaniny [°C] |
| c_{pk} | měrná tepelná kapacita v kapalném stavu [$J \cdot kg^{-1} \cdot K^{-1}$] |
| t_v | teplota vypařování [°C] |
| Q_T | měrné teplo bodu tání [J/kg] |
| Q_v | měrné teplo vypařování [J/kg] |
| t_P | doba působení paprsku na tkaninu [s] |
| d_s | celková velikost ohniska [mm] |
| T | tloušťka tkaniny [mm] |
| v | rychlosť posuvu [mm/s] |
| t_{P(y)} | doba působení paprsku na tkaninu v blízkosti sečny [s] |
| l_s | délka místní sečny [mm] |
| I | proud doutnavého výboje v trubici [mA] |
| U | napětí doutnavého výboje v trubici [kV] |
| t_k | konečná teplota tkaniny [°C] |
| c_{pp} | měrná tepelná kapacita tkaniny v plynném skupenství [$J \cdot kg^{-1} \cdot K^{-1}$] |
| D₂ | průměr svazku v ohnisku [mm] |
| D₁ | průměr svazku ve výstupním zrcadle laseru [mm] |
| l | délka optické trasy [mm] |
| f | ohnisková vzdálenost [mm] |
| d_D | velikost ohniska vlivem difrakce [mm] |

| | |
|-----------|---------------------------------------|
| λ | vlnová délka laseru [μm] |
| d_A | velikost ohniska vlivem aberace [mm] |
| K'' | aberační koeficient čočky |
| d_s | celková velikost ohniska [mm] |
| d_D | velikost ohniska vlivem difrakce [mm] |
| A | plocha ohniska [mm^2] |

| | |
|------------------------|---------------------------|
| LI | len |
| CO | bavlna |
| WO | vlna |
| SE | přírodní hedvábí |
| CV | viskóza |
| PA | polyamid |
| PES_h | polyesterové hedvábí |
| PES | polyester |
| PA_h | polyamidové hedvábí |
| EL | elastan |
| GL | skleněné vlákno |
| PP | polypropylen |
| PU | polyuretan |
| RH | relativní vlhkost vzduchu |
| NT | netkaná textilie |
| ACh | acetát |
| PVC | polyvinylchlorid |

1. Úvod

Od spuštění prvního laseru uběhlo téměř čtyřicet let. Během té doby se zejména v 60.letech začaly objevovat další typy laserů, lišící se aktivním prostředím nebo konstrukčním uspořádáním. V současnosti je vývoj laserových technologií na vysoké úrovni a jejich využití v průmyslu se stává téměř běžnou záležitostí.

Dělení textilních materiálů je stále velmi důležitou nezbytnou výrobní operací. Používá se k tomu celá řada metod, každá z nich si vytvořila svoji oblast optimálního použití. Mezi nejnovější způsoby patří oddělování textilií pomocí laserů.

Velká koncentrace výkonu v laserovém paprsku zabezpečuje vysokou produktivitu práce a vynikající kvalitu řezu. Snadné ovládání laserového paprsku průmyslovým robotem nebo manipulátorem umožňuje dělit materiály i složitými křívkovými řezy na ploše i v prostoru. Z cenového hlediska je dnes produkce z technologických pracovišť pro dělení materiálů laserem konkurence schopná ve srovnání s ostatními technologiemi dělení.

Nepochybně závažnou nevýhodou zůstává jednoúčelovost a vysoká cena zařízení.

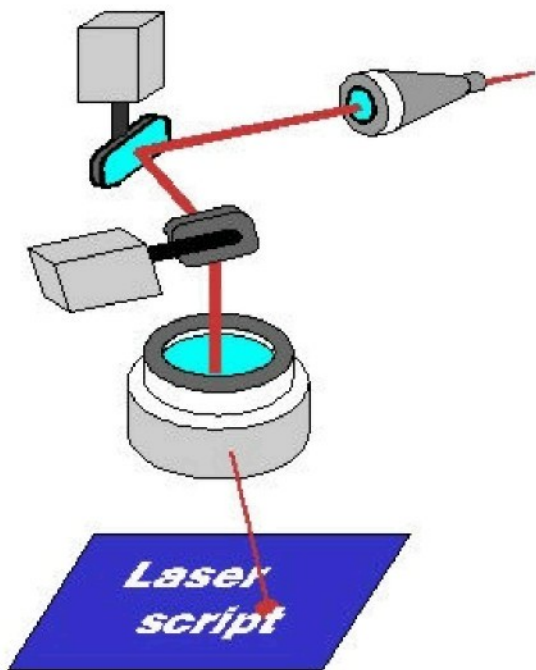
2. Lasery a jejich využití v průmyslu

2.1. Podstata laserového záření

LASER

Název vychází ze zkratky anglického Light Amplification by Stimulated Emission of Radiation, tj. „zesilování světla pomocí stimulované emise záření.“

Je to optický zdroj elektromagnetického záření tj. světla v širším smyslu. Světlo je z laseru vyzařováno ve formě úzkého svazku, na rozdíl od světla přirozených zdrojů je polarizované, koherentní a monochromatické. [7]





Obr. 1 Lom laserového paprsku

TYPY LASERŮ

Lasery lze rozdělit podle různých kritérií.

Podle povahy aktivního prostředí rozlišujeme lasery, které využívají:

- 1. pevné látky** - Lasery v pevné fázi se většinou využívají k získávání velkých, převážně impulsních výkonů, kde v milióntině sekundy dosáhnou výkonu několika miliard wattů. Nevynikají však vysokou účinností a nelze je přelaďovat na jiné vlnové délky.
- 2. kapaliny** - Kapalinové lasery pracují s četnými různými prvkami vzácných zemin se objevily již v roce 1963. Výhodou je, že mohou zabírat neomezeně velký objem a jsou dokonale homogenní. Nevýhodou ale je, že se chemicky rozkládají.
- 3. plyny** - Plynové lasery se ukázaly jako velmi perspektivní a mohutné zdroje infračerveného i ultrafialového záření a našly významné uplatnění v technice a technologii. Objem plynu je možno podle potřeby zvyšovat plynulým přítokem je možné dodávat stále nové aktivní prostředí a je možno je čerpat nejrůznějšími mechanismy, elektricky, chemicky...
Plynové lasery mají vyšší účinnost, protože přeměna elektrické energie ve výboj je hospodárnější. Proto tyto lasery pracují v nepřetržitém režimu, ale jejich trvalý výkon není moc vysoký.

Podle způsobu čerpání energie lze lasery rozdělit na lasery čerpané:

1. **opticky** - výbojkou, laserem, slunečním světlem a radioaktivním zářením
2. **elektricky**- srážkami v elektrickém výboji, svazkem nabitych částic, injektáží elektronů, interakcí elektromagnetického pole se shluky nabitych částic.
3. **chemicky** - energie chemické vazby, fotochemická disociace, výměna energie mezi molekulami a atomy
4. **termodynamicky** - zahřátím a ochlazením plynu
5. **jadernou energií** - reaktorem, jaderným výbuchem.

Z hlediska režimu práce mohou lasery pracovat kontinuálně (spojitě, nepřetržitě) nebo impulsně

Podle vyzařované vlnové délky na:

1. **infračervené**
2. **lasery v oblasti viditelného světla**
3. **ultrafialové**
4. **rentgenové [10]**

2. 2. Využití laseru

Uplatnění laserů je velmi široké. V **medicíně a biologii** se využívá na bezbolestné, nekrvavé a sterilní operace laserovým skalpelem. Dále v oční chirurgii při operacích odchlípené sítnice, koagulace živé tkáně. Bezbolestná laserová zubní vrtačka, odstraní kaz a zubní kámen z těžko přístupných míst.

Léčení některých druhů rakoviny a odstraňování zhoubných nádorů.

Ve vojenské technice se využívá holografického kódování informace k účelům utajení. Laserové radary a přesné dálkoměry k určování vzdálenosti nepřátelských objektů. Při zjišťování min pomocí laserů, navádění letadel, raket a řízení střel laserovým paprskem.

V technice spojů pro současný přenos miliónů telefonních hovorů laserovým paprskem nebo světlovodem. Přenosné laserové videotelefony, které umožňují vidět druhou osobu a hovořit s ní na vzdálenost mnoha kilometrů.

V astronomii a kosmickém výzkumu pro měření teploty povrchu a povrchových vrstev Měsíce a planet zesilováním tepelného rádiového šumu, případně sondováním elektromagnetickými vlnami. Dále pro osvětlování nebeských těles, která se nacházejí ve slunečním stínu, laserovým paprskem nebo na určování reliéfu Měsíce a nebeských těles pomocí laserového paprsku.

V meteorologii pro měření teploty, vlhkosti a složení atmosféry na základě absorbce laserového paprsku. Určování škodlivých příměsí ve vzduchu (kysličník sibiřský) laserovou spektroskopii. Sledování pohybu mraků a předvídání atmosférických srážek.

V průmyslové technologii je možné využívat laser pro vrtání otvorů o průměru několika mikronů v libovolně tvrdých a křehkých materiálech, diamantových průvlaků pro tažení tenkých drátů. Bodové svařování laserovým paprskem, zejména tenkých drátů a plechů. Řezání libovolně tvrdých materiálů laserovým paprskem. [3]

Použití laseru pokročilo především v těchto strojírenských technologiích:

- laserové svařování
- laserové oddělování
- gravírování
- pojení

3. Vlastnosti textilních materiálů

Textilní vlákna jsou nejjednodušší textilní útvary. Jsou protáhlého tvaru, jejich délka je podstatně větší než rozměry příčného průřezu. Textilní vlákna jsou základním materiélem pro výrobu všech textilií

Textilní vlákna - přírodní

- syntetická
- nepolymerní

3. 1. Materiály z přírodních vláken

Jsou to textilní spřadatelná vlákna, která se získávají z přírodních makromolekulárních látek rostlinného, živočišného nebo minerálního původu.

Přírodní vlákna dělíme na:

rostlinná – bavlna, len, konopí, juta, ramie, sisal

živočišná – vlna ovčí, velbloudí, mohérová, hedvábí

minerální – asbestos

Rostlinná vlákna

Rostlinná vlákna jsou tvořena převážně celulózou (polysacharid), která vytváří v rostlině buněčnou stěnu. Z rostlinných vláken má největší obsah celulózy bavlna.

Bavlna

Bavlna jsou jednobuněčná vlákna obrůstající semena bavlníku. Bavlna je zdrojem nejčistší celulózy - použití pro speciální účely: cigaretový papír, bankovní papír, surovina pro výrobu nitrocelulózy.

Barva vláken bývá bílá, mohou mít nažloutlý, narůžovělý, hnědavý i jiný nádech. Kvalita bavlny je ovlivněna zralostí vláken.

| | za sucha | v mokrému stavu |
|-------------------|------------------------|-----------------|
| pevnost | 2,7 - 4,3 cN/dtex | 10 - 12 cN/dtex |
| tažnost | 6 - 10% | 3,6 - 12% |
| navlhavost | 7,5% | 24 - 27% |
| teplota žehlení | 150°C | |
| měrná hmotnost | 1520 kg/m ³ | |
| koefficient trení | 0,44 | |
| modul pružnosti | 51-80 cN/dtex | |

Tab.1 Vlastnosti bavlněných vláken

Len

Len patří k nejstarším surovinám. Len je jednoletá rostlina. Poskytuje vlákno, semeno, pazdeří. V současné době se pěstují lny přadné, olejopřadné a olejně. Přadný

len se pěstuje pro vlákno, které je obsaženo v jeho stoncích. Zralé vlákno má žlutou barvu, je lesklé a hladké.

Lněné vlákno se skládá z 80% celulózy, dále z ligninu, tuků, vosků a pektinů.

| | za sucha | v mokrému stavu |
|-------------------|-----------------------|-----------------|
| pevnost | 5 - 8 cN/dtex | 12 cN/dtex |
| tažnost | 1,8% | 2,2% |
| navlhavost | 12% | |
| teplota žehlení | 200°C | |
| měrná hmotnost | 1500kg/m ³ | |
| koefficient tření | - | |
| modul pružnosti | nízký | |

Tab.2 Vlastnosti lněných vláken

Živočišná vlákna

Živočišná vlákna jsou srsti různých zvířat, např. ovcí, koz, velbloudů nebo výměšky vylučované hmyzem, známé jako přírodní hedvábí.

Ovčí vlna

Ovčí vlna je nejznámější textilní vlákno živočišného původu. K oděvním účelům se využívá již několik tisíc let.

Kvalita vlny závisí na plemenu ovce a na podmírkách, v nichž se ovce chovají. Největší množství vlny produkuje Austrálie.

Vlna nebo směsi vlny se syntetickými vlákny se používají při výrobě šatových, oblekových a pláštových tkanin, pletených oděvů....

| | za sucha | v mokrému stavu |
|-------------------|-----------------------|-----------------|
| pevnost | 0,9 - 1,8 cN/dtex | 8 - 9 cN/dtex |
| tažnost | 20 - 35% | 25 - 50% |
| navlhavost | 35% | |
| teplota žehlení | 100°C | |
| měrná hmotnost | 1320kg/m ³ | |
| koefficient tření | 0,24 | |
| modul pružnosti | 23-25cN/dtex | |

Tab.3 Vlastnosti ovčí vlny

Přírodní hedvábí

Hedvábí je výměšek snovacích žláz housenek bource morušového - noční motýl z rodu lišajů. Méně kvalitní a málo používané plané hedvábí vytvářejí housenky divoce žijícího bource dubového čínského.

Přírodní hedvábí se používá na dámské šatovky, šátky, pánské košile, kravaty. Jelikož je drahé, nahrazuje se syntetickými vlákny.

| | za sucha | v mokrém stavu |
|-------------------|-----------------------|----------------|
| pevnost | 3 - 5 cN/dtex | 6 - 10 cN/dtex |
| tažnost | 18 - 25% | 25 - 30% |
| navlhavost | 10% | |
| teplota žehlení | 110°C | |
| měrná hmotnost | 1370kg/m ³ | |
| koefficient tření | 0,26 | |
| modul pružnosti | 12GPa | |

Tab.4 Vlastnosti přírodního hedvábí

3. 2. Materiály z chemických vláken

Rozvoj výroby a používání chemických vláken spadá do počátku 20. století. Jejich zavedení a rozšiřování bylo podmíněno stále větší spotřebou textilních vláken a projevujícím se nedostatkem vláken přírodních.

První chemická vlákna byla celulózová, vyráběla se z přírodních polymerů, později se začala vyrábět i vlákna syntetická. V současné době se zvyšuje výroba syntetických vláken.

Syntetická vlákna dělíme na vlákna :

z přírodních polymerů – viskózová, měďnatá, acetátová

ze syntetických polymerů – polyamidová, polyesterová, polypropylenová, polyuretanová, polyvinylchloridová, polyakrylonitrilová
nepolymerní – kovová, skleněná, uhlíková

Z přírodních polymerů

Vlákna z regenerované celulózy

Výchozí surovinou pro výrobu celulózových vláken je buničina, krátká bavlněná vlákna (linters) nebo bavlněný odpad. Buničina se získává z rozemletého dřeva. Pro výrobu vláken se používá dřevo ze smrků a buků.

Viskózová vlákna

Jsou laciná, ale jejich základní nevýhodou je ekologicky neúnosný způsob výroby. Vyrábějí se z buničiny.

Viskózová vlákna ve formě hedvábí se používají převážně pro podšívkové materiály. Viskózová stříž se směsuje s jinými druhy vláken (bavlna, vlna, syntetické materiály) pro textilie na prádlo a svrchní ošacení.

| | za sucha | v mokrému stavu |
|------------------|-------------------------------|-------------------|
| pevnost | 1,9 - 3 cN/dtex | 4,4 - 8,8 cN/dtex |
| tažnost | 20 - 30% | 25 - 35% |
| navlhavost | 11 - 13% | |
| teplota žehlení | 100°C | |
| měrná hmotnost | 1500 - 1520 kg/m ³ | |
| koeficient tření | 0,38 | |
| modul pružnosti | 54 cN/dtex | |

Tab.5 Vlastnosti viskózových vláken

Vlákna z derivátů celulózy

Acetátová vlákna

Výchozí surovinou pro výrobu acetátových vláken jsou líntry nebo vysoko zušlechtěna buničina. Vlákna jsou vytvořena z acetátu celulózy, tj esteru kyseliny octové s celulózou.

Z acetátového hedvábí se vyrábějí hlavně textilie hedvábného charakteru na dámské ošacení a také podšívkové tkaniny.

| | za sucha | v mokrém stavu |
|------------------|-------------------------------|----------------|
| pevnost | 1,1 - 1,4 cN/dtex | 6 - 7 cN/dtex |
| tažnost | 20 - 40% | 30 - 50% |
| navlhavost | 6 - 6,5% | |
| teplota žehlení | pod 100°C | |
| Měrná hmotnost | 1290 - 1330 kg/m ³ | |
| koeficient tření | vysoký | |

Tab.6. Vlastnosti acetátových vláken

Vlákna ze syntetických polymerů

Zavedením výroby syntetických vláken v první polovině 20. století znamenalo největší převrat v oblasti textilních surovin. V současné době zaujmají významné a nezastupitelné místo mezi textilními vlákny.

Syntetická vlákna dělají textiliím řadu výhodných vlastností, které při použití přírodních vláken nelze dosáhnout

Polyamidová vlákna

Polyamidová vlákna se vyrábějí ze dvou vláknovorných polymerů, polyamidu 6 nebo polyamidu 6.6. Vlákna mohou být hladká i profilovaná, lesklá, matovaná a barvená ve hmotě. Bývaly opatřeny úpravami - antistatickou, nešpinivou.

Užití je velmi široké, hlavně ve formě hedvábí. Dámské punčochy, punčochové kalhoty. Sportovní oděvy, oděvy pro volný čas, kombiné, spodničky.

| | za sucha | v mokrém stavu |
|---------|-------------------|-----------------|
| pevnost | 3,6 - 7,5 cN/dtex | 8,5 - 9 cN/dtex |
| tažnost | 23 - 55% | 20 - 50% |

| | | |
|------------------|-----------------------|--|
| navlhavost | 3 - 4,5% | |
| teplota žehlení | 170°C | |
| Měrná hmotnost | 1140kg/m ³ | |
| koeficient tření | 0,16 | |
| Modul pružnosti | 340cN/tex | |

Tab.7 Vlastnosti polyamidových vláken

Polyesterová vlákna

Vzhledem ke svým univerzálním vlastnostem zaujímají polyesterová vlákna mezi vlákny ze syntetických polymerů výsadní postavení.

Polyesterová vlákna mají tvar hedvábí i stříže. Používají se při výrobě hedvábnických tkanin pro dámské šaty, halenky. Uplatňuje se při výrobě sportovního ošacení, krajek, záclon, šicích nití.

| | za sucha | v mokrému stavu |
|------------------|-----------------------|-----------------|
| pevnost | 3,8 cN/dtex | 7,2 cN/dtex |
| tažnost | 19 - 23% | 19 - 23% |
| navlhavost | 0,3% | |
| teplota žehlení | 150°C | |
| Měrná hmotnost | 1335kg/m ³ | |
| koeficient tření | 1,6dtex | |
| Modul pružnosti | 1300 cN/tex | |

Tab.8 Vlastnosti polyesterových vláken

Akrylová vlákna

Zaujímají 3.místo co do spotřeby mezi syntetickými vlákny. Mají měkký omak. Velkou výhodou je nízká cena

| | za sucha | v mokrému stavu |
|-----------------|------------------------------|-----------------|
| pevnost | 1,3 - 3,2 cN/dtex | 7 cN/dtex |
| tažnost | 20 - 30% | 25 - 35% |
| navlhavost | 0,9 - 2% | |
| teplota žehlení | 150°C | |
| Měrná hmotnost | 1180 - 1220kg/m ³ | |

| | | |
|------------------|-----------------|--|
| koeficient tření | 0,27 | |
| Modul pružnosti | 300 - 500cN/tex | |

Tab.9 Vlastnosti akrylu

Polypropylenová vlákna

Polypropylenová vlákna nacházejí stále širší uplatnění. Jejich výhodou je velmi snadná dostupnost základní suroviny, která je vedlejším produktem při zpracovávání ropy.

Polypropylenová vlákna se uplatňují při výrobě bytových textilií, i při výrobě koberců. V oděvních textiliích se využívá schopnosti vláken přenášet vlhkost.

| | za sucha | v mokrému stavu |
|------------------|---|-----------------|
| pevnost | 1,5 cN/dtex | 6 cN/dtex |
| tažnost | 15% | 60% |
| navlhavost | 0 - 0,005% | |
| teplota žehlení | 130°C | |
| měrná hmotnost | 800kg/m ³ | |
| koeficient tření | 0,24 | |
| tepelná vodivost | 0,1 - 0,3Wm ⁻¹ K ⁻¹ | |

Tab.10 Vlastnosti polypropylenu

3. 3. Nepolymerní

Kovová vlákna

Vyrábějí se buď celokovová nebo jako tzv. metaloplastické řezané nitě. Pro oděvní účely se používají převážně metaloplastické nitě, které se vyrábějí laminované nebo pokovované.

| | za sucha | v mokrému stavu |
|------------------|-----------------------|-----------------|
| Pevnost | 1,1 GPa | |
| Tažnost | 0,9% | |
| tepelná odolnost | velmi vysoká | |
| měrná hmotnost | 1800kg/m ³ | |
| koeficient tření | | |
| modul pružnosti | 310GPa | |

Tab.11 Vlastnosti kovových vláken

Skleněná vlákna

Vyrábějí se z roztaveného skla, obvykle mechanickým nebo pneumatickým způsobem tažení. Vzhledem ke své nehořlavosti a odolnosti vůči chemikáliím se používají při výrobě ochranných pracovních oděvů.

| | za sucha | v mokrému stavu |
|-------------------|------------------------|-----------------|
| Pevnost | 1,7 - 3,5 GPa | |
| Tažnost | 5% | |
| tepelná odolnost | 450°C | |
| měrná hmotnost | 2540 kg/m ³ | |
| koefficient tření | 1,6 | |
| modul pružnosti | 69 - 72 GPa | |

Tab.12 Vlastnosti skleněných vláken

Uhlíková vlákna

Základní surovinou pro výrobu uhlíkových vláken jsou např. polyakrylonitrilová, polyvinylchloridová, polyamidová vlákna, která se tepelným rozkladem přeměňují na vlákna uhlíková.

Vlákna se uplatňují ve strojírenství, letectví, kosmonautice. [2]

| | za sucha | v mokrému stavu |
|------------------|------------------------|-----------------|
| Pevnost | 1,9 - 3,6 GPa | |
| Tažnost | 0,4 - 0,7% | |
| tepelná odolnost | velmi vysoká | |
| měrná hmotnost | 2270 kg/m ³ | |
| modul pružnosti | 350 - 540 GPa | |

Tab.13 Vlastnosti uhlíkových vláken

V tomto přehledu jsou popsány vlastnosti textilních vláken. Tyto vlastnosti jsou velmi důležité pro kvalitu řezu při interakci s laserovým paprskem. [2]

Tepelně-fyzikální vlastnosti řezaného materiálu

Pro technologický proces řezání jsou rozhodující tyto tepelně-fyzikální vlastnosti materiálu:

- reflexivita řezaného materiálu
- hustota materiálu
- tepelná kapacita
- skupenské teplo tání
- skupenské teplo výparné
- tepelná vodivost
- teplota tání
- teplota vypařování
- chemická energie vzniklá při reakci řezaného materiálu s kyslíkem
- elektrický odpor materiálu

4. Řezání laserovým paprskem

Řezný proces probíhá na základě vzájemného působení laserového paprusku a řezaného materiálu. Oblast, ve které k těmto účinkům dochází, je ohraničena řeznou

spárou ve směru řezu a nazývá se čelem řezu. Paprsek, který na toto čelo působí, musí natavit materiál na teplotu, která vede ke změně pevné fáze materiálu na kapalnou a plynnou.

Následuje silné odpařování materiálu, které vede k jeho odvodu. Současně mechanické působení proudu řezného plynu unáší částice tekutého materiálu mimo prostor řezu. Roztavené pásmo se pohybuje ve směru řezu a proces natavování se neustále opakuje. Laserový paprsek v případě kontinuálního řezání tedy stabilně postupuje a představuje vlastní "řezný" nástroj. [3]

4. 1. Princip řezání

Metoda je založena na optickém soustředění světelného paprsku do jednoho bodu a jeho proměně v tepelnou energii, díky které dochází k oddělení vrstvy textilního materiálu.

Laserový paprsek vycházející z rezonátoru laseru je pomocí speciální čočky zaostřen na povrch materiálu, který se natavuje a řezacím plynem přiváděným koaxiální dýzou se tavenina vyfukuje.

Při laserovém řezání je nutné co nejrychleji odpařit materiál a zasáhnout tak oblast tepelnými účinky co nejméně.

Pro řezání textilních materiálů se nejčastěji používají kontinuální CO₂ lasery s výkonem 50W – 200W. Rychlosť paprsku je dána parametry přístroje. Při laserovém řezání se přivádí koaxiálně s laserovým svazkem na místo řezání proud ochranného plynu, který zabraňuje vzniku nežádoucího ožehu nebo zápachu. [4]

Výhody laserového řezání:

1. nepatrna šířka řezu
2. nepatrne oblasti ohrevu
3. žádné opotřebení nástroje
4. čisté řezy
5. možnost řezání složitých tvarů
6. hospodárnost i při malých výrobních sériích.

7. kvalita řezu
8. velká rychlosť

Nevýhody laserového řezání:

1. možnost opálení okrajů
2. možnost spékání okrajů
3. zápach a ušpinění okrajů

4. 2. Matematický model

Matematický model předpokládá, že veškerá energie, která je absorbovaná textilním materiélem závisí na konkrétním laserovém systému a toho je využito pro řezání textilních materiálů. V případě úplné absorbce energie může být vyvozeno:

$$E = P \cdot t_p \quad [J]$$

P výkon laserového systému [W]

t_p doba působení na materiál v ohnisku laserového paprsku [s]

Řeznou energii můžeme teoreticky popsat jako sumu sdružených energií souvisejících s teplotními změnami v textilním materiéle:

$$E_0 = E_p + E_{pk} + E_k + E_{kp}$$

E_0 energie oddělování [J]

E_p energie zahřívající textiliu k bodu tání [J]

E_{pk} energie pro transformaci z pevného stavu do stavu kapalného [J]

E_k energie zahřívání k bodu varu [J]

E_{kp} energie pro transformaci z kapalného stavu do stavu plynného. V tomto stádiu je materiál přeměněn a oddělen [J]

Individuální charakteristiky jsou definovány:

$$E_p = m_e * c_p * (t_t - t_p)$$

$$E_{pk} = m_e * Q_T$$

$$E_k = m_e * c_{pk} * (t_v - t_t)$$

$$E_{kp} = m_e * Q_v$$

| | |
|----------|--|
| m_e | hmotnost elementu, který příjme energii [kg] |
| c_p | měrné skupenské teplo v pevném stavu [$J \cdot kg^{-1}, K^{-1}$] |
| t_t | teplota tání látky [$^{\circ}C$] |
| t_p | zaváděcí teplota [$^{\circ}C$] |
| c_{pk} | měrné skupenské teplo v kapalném stavu [$J \cdot kg^{-1}, K^{-1}$] |
| t_v | teplota vypařování [$^{\circ}C$] |
| Q_T | měrné teplo bodu tání [J/kg] |
| Q_v | měrné teplo vypařování [J/kg] |

Předpokládáme, že energie E_0 je rovná energii E . Na základě toho se můžeme rozhodnout, jaké parametry laserového systému nastavíme s ohledem na konkrétní řezaný materiál bez času stráveného na náročných experimentech. [7]

4. 3. Teoretický popis interakce tkaniny s laserovým paprskem

Kapitola popisuje vzájemnou interakci laserového paprsku a tkaniny. Předložená teorie bude konfrontována s naměřenými hodnotami a ukázkově srovnána se vzorkem číslo 31 skleněné vlákno.

Doba působení paprsku na tkaninu na úseku řezu d_s :

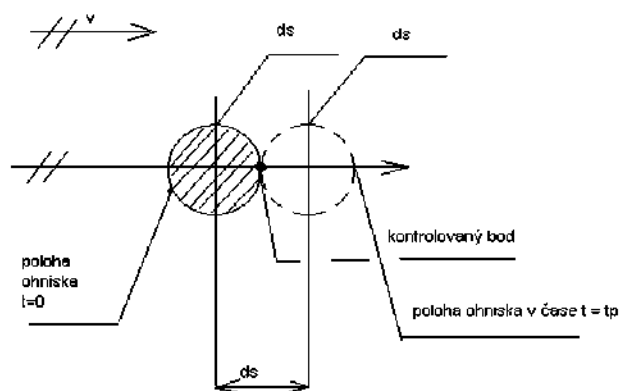
Při známé rychlosti tkaniny v a průměru paprsku v ohnisku d_s , lze dobu působení laseru na tkaninu na délkovém úseku řezu d_s popsat :

$$t_p = \frac{d_s}{V} \quad [s]$$

t_p doba působení paprsku na tkaninu [s]

d_s celková velikost ohniska [mm]

v rychlosť posuvu [mm/s]

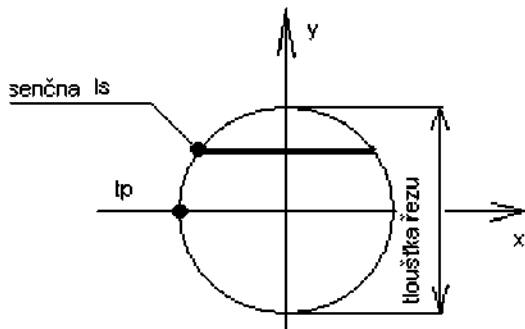


Obr. 2 Přibližná doba působení paprsku na tkaninu

$$t_{p(y)} = \frac{l_s}{v} \quad [s]$$

- $t_{p(y)}$ doba působení paprsku na tkaninu v blízkosti sečny [s]
 v rychlosť posuvu [mm/s]
 l_s délka místní sečny [mm]

Nicméně v okolí středu řezu, kde vzhledem ke skutečnému rozložení energie v paprsku a nejdelší době působení, dojde k odpaření materiálu a tedy prořezání tkaniny, můžeme tuto hodnotu s jistou nepřesností považovat pro danou rychlosť za konstantní.



Obr. 3 Doba působení paprsku přímo úměrná sečně

Energie přijatá tkaninou na úseku řezu d_s

Za předpokladu, že tkanina není úplně prořezána a energie laserového paprsku je zcela pohlcována pouze tkaninou (předpoklad dokonalé absorpcie), lze z rychlosti v místě řezu vypočítat její hodnotu:

$$E = P \cdot t_p \text{ [J]}$$

- E energie přijatá tkaninou [W]
 P výkon [W]
 t_p doba působení paprsku na tkaninu [s]

Ve skutečnosti je energie přijatá tkaninou dána plošnou integrací rozložení intenzity paprsku, ozářené plochy a doby expozice. Prohlásíme-li intenzitu paprsku a dobu

působení za konstantní, což s jistou nepřesností pro naše účely můžeme, platí výše uvedený vzorec.

Energie oddělování E_o

Energie oddělování je kritická hodnota energie, při níž dojde k úplnému prořezání tkaniny.

Zanedbáme-li příspěvek oxidického hoření k prořezání tkaniny, který je pro větší řezné rychlosti nepatrný, lze energii oddělování tkaniny považovat pro danou vlnovou délku laseru za konstantu, nezávislou na těchto parametrech:

- řezná rychlosť
- výkon laseru
- průměr ohniska

Pomocí této energie lze potom pro danou tkaninu při zadaném vstupním parametru (většinou požadovaná řezná rychlosť nebo výkon laseru) dopočítat zbylé parametry.

Interakce exponované tkaniny s přijatou energií na délce řezu d_s

Nedochází-li při řezání k oxidické reakci, je energie přijatá elementárním objemem tkaniny přeměna výhradně na energii tepelnou. Tato tepelná energie potom vyvolá v tkanině postupně fázové přeměny od pevné až po plynou látku. Hodnota tepelné

energie, při níž dojde k vypaření elementu tkaniny, je výše uvedená energie oddělování E_o .

Elementární objem

Za elementární objem tkaniny budeme pro jednoduchost uvažovat hranol o stranách rovných průměru ohniska d_s a výšce rovné tloušťce tkaniny T . Toto zjednodušení je v souladu se zavedením konstantní doby působení paprsku na tkaninu po šířce řezu.

Pro přesnější výpočet je možno tkaninu nahradit nekonečně malými vzájemně spojenými elementy. Při tomto uspořádání je potom možno zavádět energii s jejím prostorovým a časovým rozložením, jakož i pohlcování tepla okolní tkaninou. Samotný popis výpočtu vede k diferenciálním rovnicím, jejichž řešení nacházíme v metodě konečných objemů.

A. Energie využitá pro ohřátí exponovaného elementu tkaniny na bod teploty tání E_p

$$E_p = m_e \cdot c_p \cdot (t_t - t_p)$$

m_e hmotnost elementu tkaniny, který přijal energii [kg]

c_p měrná tepelná kapacita tkaniny v pevném skupenství [$J \cdot kg^{-1} \cdot K^{-1}$]

t_t teplota tání tkaniny [$^{\circ}C$]

t_p teplota počáteční (teplota v laboratoři)

B. Energie potřebná k přechodu exponovaného elementu tkaniny z pevného skupenství na kapalné E_{pk}

$$E_{pk} = m_e \cdot Q_T$$

m_e hmotnost elementu tkaniny, který přijal energii [kg]

Q_T měrné skupenské teplo tání tkaniny [J/kg]

C. Energie využitá pro ohřátí exponovaného elementu tkaniny na bod varu E_k

$$E_k = m_e \cdot c_{pk} \cdot (t_v - t_t)$$

m_e hmotnost elementu tkaniny, který přijal energii [kg]

c_{pk} měrná tepelná kapacita tkaniny v kapalném skupenství [$J \cdot kg^{-1} \cdot K^{-1}$]

t_v teplota vypařování tkaniny [$^{\circ}C$]

t_t teplota tkaniny [$^{\circ}C$]

D. Energie potřebná k přechodu exponovaného elementu tkaniny z kapalného skupenství na plynné E_{kp}

$$E_{kp} = m_e \cdot Q_v$$

m_e hmotnost elementu tkaniny, který přijal energii [kg]

Q_v měrné skupenské teplo vypařování tkaniny [J/kg]

E. Energie využitá pro ohřátí exponovaného elementu tkaniny v plynném skupenství E_{pp}

$$E_{pp} = m_e \cdot c_{pp} \cdot (t_k - t_v)$$

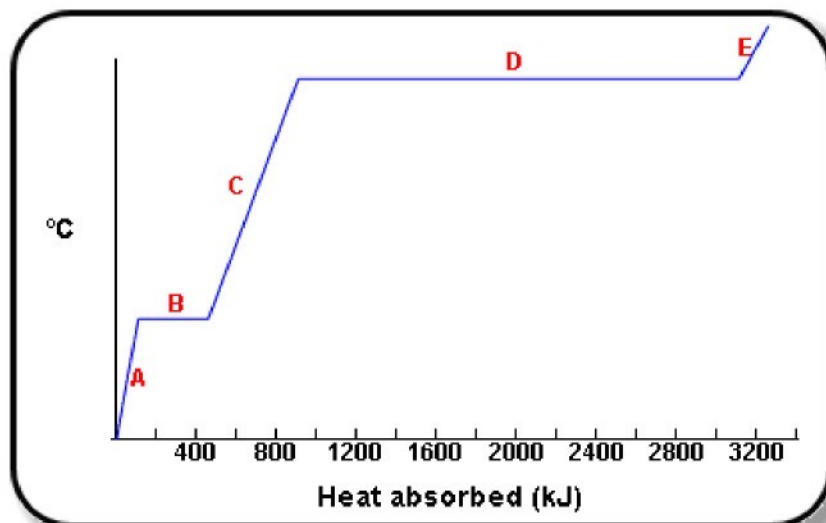
m_e hmotnost elementu tkaniny, který přijal energii [kg]

c_{pp} měrná tepelná kapacita tkaniny v plynném skupenství [$J \cdot kg^{-1} \cdot K^{-1}$]

t_k konečná teplota tkaniny [s]

t_v teplota vypařování tkaniny [s]

pozn.tato energie již při řezání nepůsobí na tkaninu, je zachycena převážně podložkou a proto nebude její příspěvek uvažován. [13]



Obr.4 Schéma přeměny syntetického materiálu na plyn [12]

Pozn. Toto schéma uvažujeme pouze u syntetických materiálů. U přírodních materiálů by bylo obtížné tuto křivku zjistit.

4. 4. Zařízení pro oddělování laserem se skládá z :

1. optická soustava
2. generátor laserového paprsku
3. poziční dopravník
4. počítač a příslušný software

Výhodou laserového řezání je velká rychlosť, řezání různých tvarů, možnost automatizace, bezkontaktní působení, dobrá kvalita řezu a malá zóna tepelného působení.

Nevýhodou (v případě nepoužití ochranného plynu) je možnost opálení okrajů, zápach a zašpinění okrajů.

5. Realizace procesu řezání

Experiment se uskutečnil v Kralicích na Hané v sídle firmy Přidal s.r.o. na 32 vzorcích po 1, 3 a 5 vrstvách. Firma je dodavatelem manipulačních prostředků, žehlící techniky a dopravníků. Experiment probíhal ve spolupráci s panem Ing. Martinem Kotačkou, který zkonstruoval plynový kontinuální CO₂ laser o vlnové délce 10,6µm, buzený elektrickým výbojem. Plynové lasery se využívají na řezání plastů, kovů a v současnosti nacházejí velké uplatnění také v textilním průmyslu.

Tímto laserem byly řezány všechny uvedené vzorky.

5. 1. Řezání materiálů ve vrstvách

Laserové oddělování textilií je technologicky podobné laserovému pojení. Při oddělování textilií je třeba, aby řez byl prováděn tak, aby se dělená část textilie snadno oddělila od zbývající. Při této operaci není třeba příliš dbát na soudržnost textilie a laserem je možné provádět velmi rychle a kontinuálně řezy k oddělování textilií. V tomto směru je již používání laserů velmi rozšířené. Při oddělování jsou výsledky získané při pojení textilií podle požadavků kladených na kvalitu okrajů oddělovaných textilií neméně významné.

Důležitým problémem při oddělování textilií laserovou technologií zvláště v oděvním a v kožařském průmyslu je současné oddělování textilií a úsní ve vrstvách.

Jsou-li zastoupeny v textiliích pro laserové oddělování ve větším množství termoplastická vlákna, hrozí nebezpečí při laserovém oddělování termoplastické spojení vrstev. Proto je třeba zajistit taková technologická opatření, aby byly splněny podmínky, kdy nedojde k propojení jednotlivých vrstev.

To je možné dosáhnout proložením vrstev vrstvami papíru, popř. viskózových rounových textilií, užívaných jako výztuž v oděvnictví, nebo vhodnými technologickými podmínkami dosáhnout toho, aby nedošlo k vytvoření příliš rozměrných kulových útvarů nebo jejich splynutí ve větší celky. To je možné uskutečnit místním ochlazením řezů. Technologii optimálního oddělování je vždy třeba pro danou textilii vyzkoušet. [4]

5. 2. Specifikace laserového zařízení

Kontinuální plynový laser CO₂ o vlnové délce 10,6µm sestrojený panem Ing. Martinem Kotačkou se nalézá na pracovišti firmy Přidal s.r.o. v Kralicích na Hané.

Popis trubice laseru:

- Plynový kontinuální CO₂ laser o vlnové délce 10,6µm, buzený elektrickým výbojem
- Maximální výkon 50W



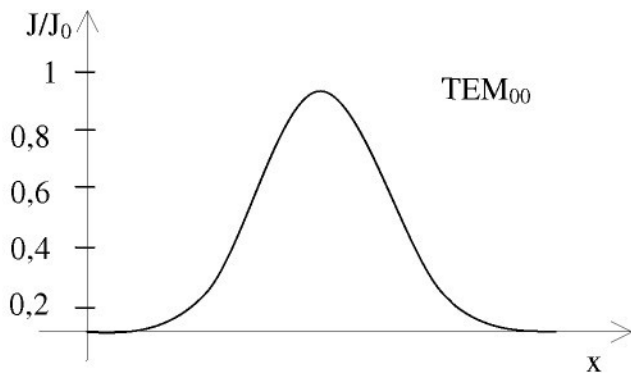
Obr.5 Laserová trubice



Obr.6 Zdroj vysokého napětí

- Mod laseru TEM_{00}

Pozn. Rozložení energie ve svazku má tvar Gaussovy křivky



Obr. 7 Mod laseru TEM_{00}

- Naměřené výstupní hodnoty laserové trubice:
 - Průměr svazku na výstupním zrcadle 5,2mm
 - Rozbíhavost svazku 0,0025
 - Výkonová charakteristika laseru:

| U(kV) | I (mA) | P (W) |
|--------------|---------------|--------------|
| 11,5 | 5 | 7 |
| 11,5 | 10 | 16 |
| 11,5 | 15 | 20 |
| 11,3 | 20 | 23 |
| 11,2 | 25 | 25 |

Tab. 14 Výkonová charakteristika laseru

I - proud dounavého výboje trubice [mA]

P - výstupní výkon laseru [W]

U - napětí dounavého výboje v trubici [kV]

Popis optické trasy paprsku

Paprsek je na vzdálenosti 1803mm třikrát lomen zrcadly a zaveden k ostřící meniskové čočce s ohniskovou vzdáleností 148mm.



Obr. 8 Optická trasa paprsku

Z průměru svazku D_1 na výstupním zrcadle laseru, jeho divergence α , délky l optické trasy a ohniskové vzdálenosti čočky f , lze vypočítat průměr svazku v ohnisku:

$$D_2 = D_1 + l \cdot \tan \alpha = 5,2 + 1803 \cdot \tan 0,0025 = 5,65 \text{ mm}$$

D_2 průměr svazku v ohnisku [mm]

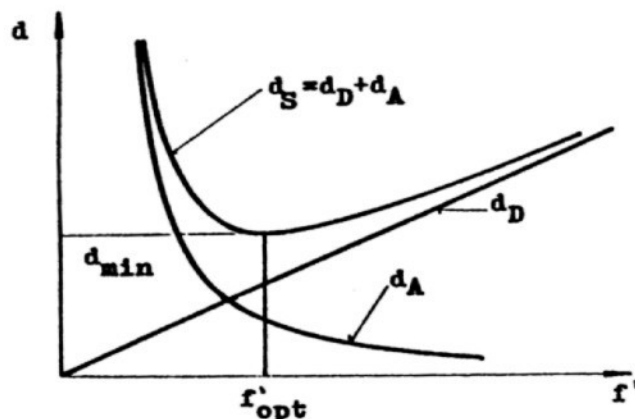
D_1 průměr svazku ve výstupním zrcadle laseru [mm]

l délka optické trasy [mm]

f vzdálenost čočky [mm]

Vypočtené hodnoty v místě řezu – ohnisku

Velikost ohniska d_s fokusovaného laserového svazku je dána součtem difrakce d_D a aberacemi optického členu d_A .



Obr.9 Graf závislosti celkové velikosti ohniska na difrakci a aberaci

Příspěvek k velikosti ohniska vlivem difrakce d_D

$$d_D = \frac{\lambda \times f}{\pi \times D_2} = \frac{10,6^{-3} \times 148}{3,14 \times 5,65} = 0,0886 \text{ mm}$$

d_D velikost ohniska vlivem difrakce [mm]

λ vlnová délka laseru [μm]

D_2 průměr svazku v ohnisku [mm]

f vzdálenost čočky [mm]

Příspěvek k velikosti ohniska vlivem aberace d_A

V případě čočky má na velikost stopy určující vliv otvorová vada (aberace). Pro průměr stopy daný otvorovou vadou lze psát :

$$d_A = \frac{K'' \times D_2^3}{f^2} = \frac{0,018 \times 5,65}{148^2} = 0,00015 \text{ mm}$$

K'' je tzv. aberační koeficient čočky

f vzdálenost čočky [mm]

D_2 průměr svazku v ohnisku [mm]

d_A velikost ohniska vlivem aberace [mm]

Celková velikost ohniska d_s :

$$d_s = d_A + d_D = 0,09 \text{ mm}$$

d_s celková velikost ohniska [mm]

d_A velikost ohniska vlivem aberace [mm]

d_D velikost ohniska vlivem difrakce [mm]

Plocha ohniska A :

$$A = \frac{\pi \times d_s^2}{4} = \frac{3,14 \times 0,09^2}{4} = 0,06 \text{ mm}^2$$

A plocha ohniska [mm^2]

d_s celková velikost ohniska [mm]

Popis posuvného řezacího zařízení

Pod čočkou, pevně uchycenou k posuvnému zařízení, je v ohniskové vzdálenosti umístěn řezaný materiál. Rychlosť posuvného zařízení můžeme měnit pomocí PC.



Obr. 10 Pojízdné zařízení s čočkou

Vzorky použité pro experiment:

| Číslo | Materiál | Složení | Struktura | Vazba |
|-------|------------------|-----------------------------|-----------------|--|
| 1. | Lněné plátno | 100%LI | Tkanina | Plátnová |
| 2. | Žíněnka | osnova 100%LI, útek 100%PES | Tkanina | Plátnová |
| 3. | Přírodní hedvábí | 100%SE | Tkanina | Plátnová |
| 4. | Loden | 100%WO | Tkanina | Plátnová |
| 5. | Froté | 100%CO | Tkanina | Plátnová |
| 6. | Satén | 60%CO, 40%PES | Tkanina | Atlasová |
| 7. | Manšestr | 97%CO, 3%EL | Tkanina | Vlasová tkanina s řezaným útkem, plátnová |
| 8. | Flauš | 70%WO, 20%PES, 10%NY | Tkanina | Z mykané vlny, plátnová |
| 9. | Koverkot | 80%WO, 20%PES | Tkanina | Keprová |
| 10. | Tvíd | 100%WO | Tkanina | plátnová |
| 11. | Oblekovka | 96%WO, 4%PES | Tkanina | Plátnová |
| 12. | Satén | PESH | Tkanina | Atlasová |
| 13. | Podšívka | PES/ACh | Tkanina | Keprová |
| 14. | Polyamid | PAh | Tkanina | Plátnová |
| 15. | Vatex | 100%PES | NT | NT |
| 16. | Hovězinka | Přírodní úseň | Kůže | NT |
| 17. | Koňská kůže | Přírodní úseň | kůže | NT |
| 18. | Samet | 100%Akryl | pletenina | Jednolící pletenina |
| 19. | Saša+molitan | PES/WO+PUpěna | pletenina+NT | Kolmo kladená vlákna ze směsi PES a ovčí rouno |
| 20. | Diolen+molitan | CO/PES+PUpěna | pletenina | Pletenina +NT |
| 21. | Koženka červená | 100%PA | Syntetická úseň | Pletenina s nánosem polymeru PAD |

| | | | | |
|-----|-------------------|-----------------------|-----------------|---|
| 22. | Koženka oranžová | 100%PA | Syntetická úseň | Plátnová s pogumovanou povrchovou úpravou |
| 23. | Koženka černá | 100%PU | Syntetická úseň | Pletenina s nánosem polymeru PUR |
| 24. | Vliselín | V _s /PES | NT | NT |
| 25. | Plst | WO | NT | NT |
| 26. | Latex | 63%PVC, 27%PES, 10%PU | NT | NT |
| 27. | Plast | PA6 | NT | NT |
| 28. | Kortexin | 100%PES + nános PVC | Tkanina | Plátnová |
| 29. | Airbag | PA 6.6 | Tkanina | Plátnová |
| 30. | Plavkovina | 79%PA, 21%EL | Pletenina | Pletenina |
| 31. | Skleněné vlákno | | Tkanina | Plátnová |
| 32. | Skleněné vlákno 2 | | Tkanina | Plátnová |

Tab. 15 Vzorky použité pro experiment

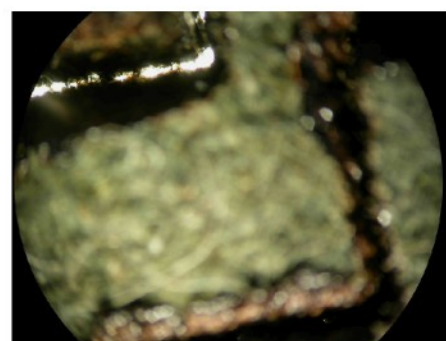
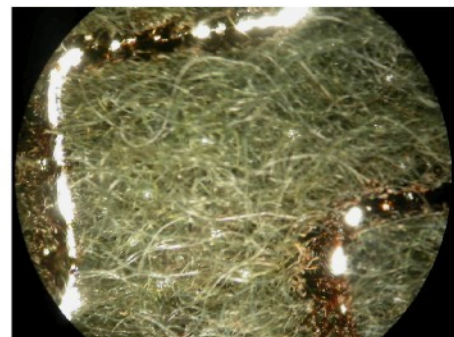
5. 3. Prezentace vybraných vzorků

Vzhledem k velkému množství zastoupených vzorků (příloha) jsme pro názornou ukázku vybrali 4 vzorky po jedné, tří a pěti vrstvách, které jsou reprezentativní pro skupinu materiálů s diametrálně odlišnými vlastnostmi, tyto vzorky jsme také zahrnuli do rozboru kvality řezů.

Vzorek č. 4

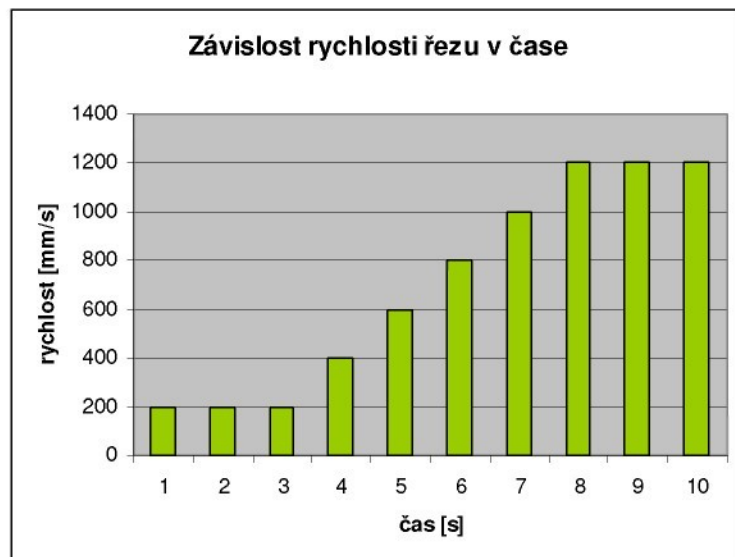
| 4. Loden | |
|-----------------|--|
| Složení | 100%WO |
| Vazba | tkaný technikou dvojího útku, plátnová |
| Vlastnosti | vysoká pevnost, hrubý omak |
| Použití | pracovní, lovecké pláště |

Tab. 16 Charakteristika vzoru 4

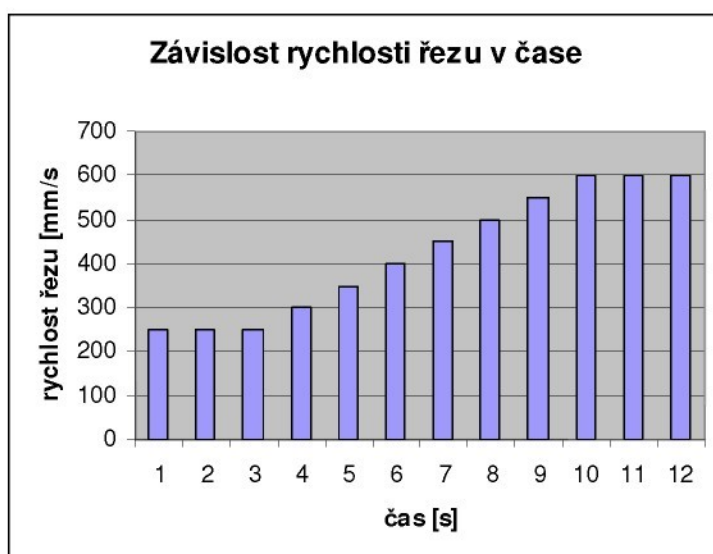


Obr. 11 Řez vzorkem pod mikroskopem

Již při řezání jedné vrstvy docházelo k zatavení okrajů. Vrstva byla prořezaná v celé délce. Při řezání tří vrstev bylo využito vyššího výkonu a nižší řezné rychlosti, i přesto nedošlo k úplnému prořezání vrstev. Okraje jsou hrubé, drsné, nevzhledné. Použitý CO₂ laser není tak výkonný, aby prořezal pět vrstev tohoto typu materiálu. Okraje i po delší době zapáchají.



Obr. 12 Graf závislosti rychlosti řezu v čase pro 1 vrstvu textilie

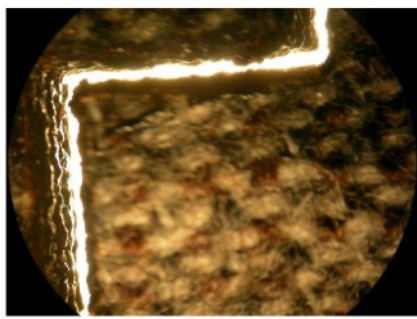
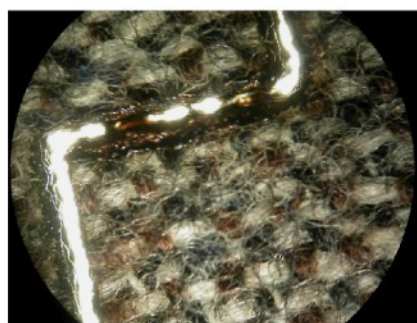
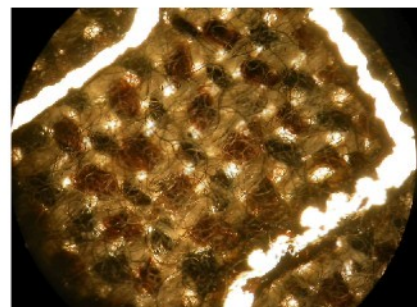


Obr. 13 Graf závislosti rychlosti řezu v čase pro 3 vrstvy

Vzorek č. 10

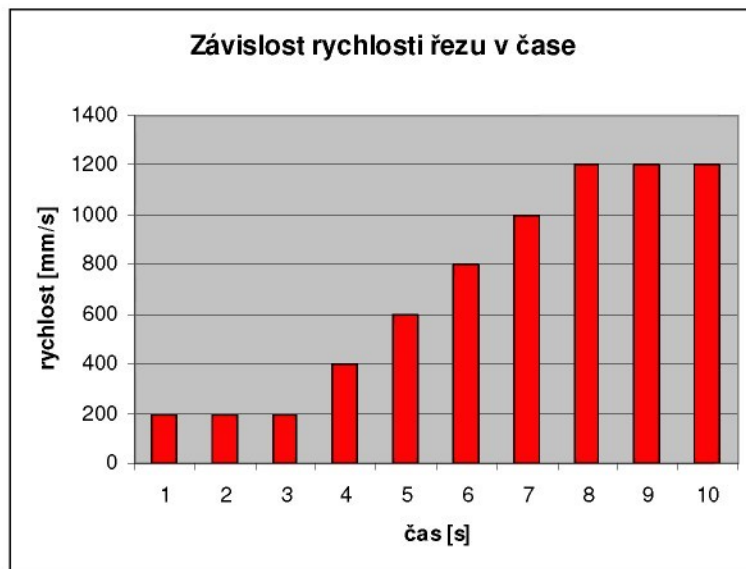
| 10. Tvíd | |
|------------|--|
| Složení | 100%WO |
| Vazba | plátnová |
| Vlastnosti | měkká pružná tkanina, rozdílná barevnost osnovy a útku |
| Použití | kostýmy, obleky, pláště |

Tab. 17 Charakteristika vzorku 10

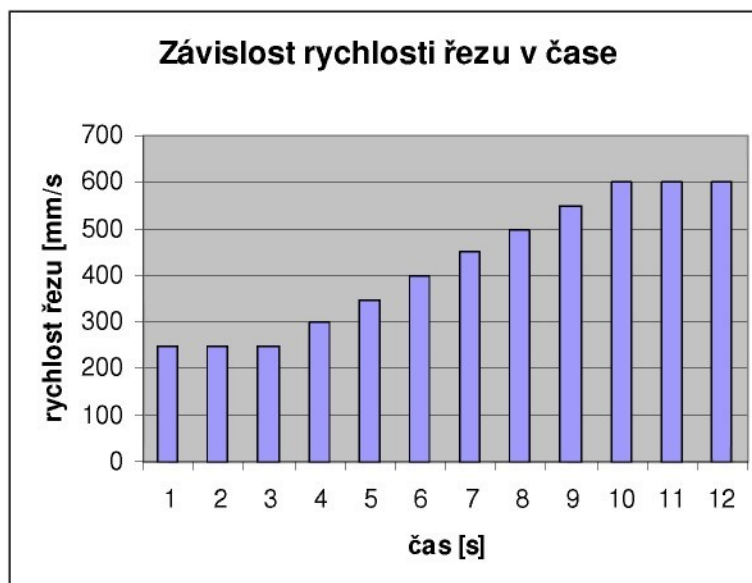


Obr. 14 Řez vzorky pod mikroskopem

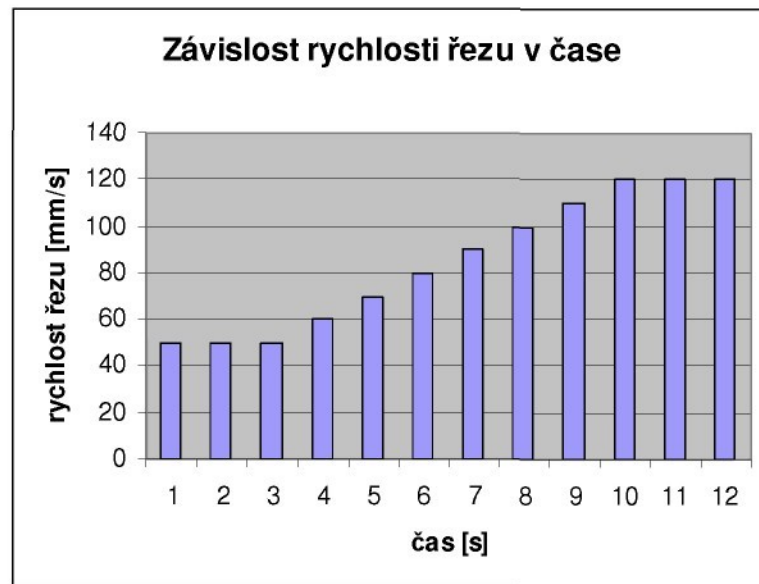
Tento materiál se řezal velmi pěkně. Okraje jsou opálené, prořezané po celé délce vrstvy. Snížením rychlosti došlo k prořezání i tří vrstev, okraje jsou ovšem spečené. Zvýšením výkonu a snížením rychlosti došlo k oddělení i pěti vrstev, okraje jsou spečené.



Obr. 15 Graf závislosti rychlosti řezu v čase pro 1 vrstvu textilie



Obr.16 Graf závislost rychlosti řezu v čase pro 3 vrstvy textilie

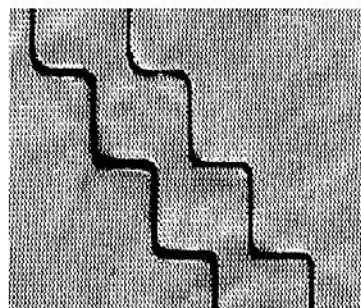


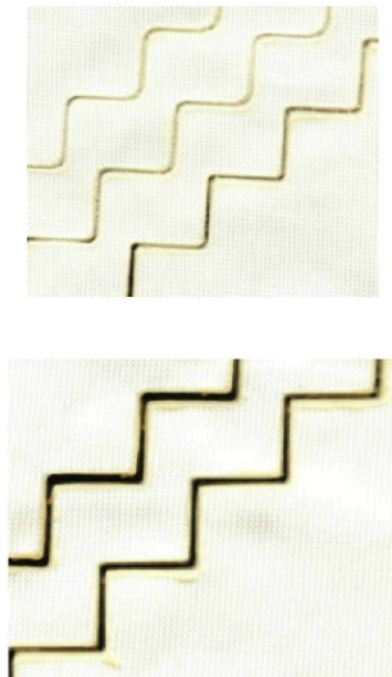
Obr. 17 Graf závislosti rychlosti řezu v čase pro 5 vrstvy textilie

Vzorek č.29

| 29. Airbag | |
|------------|-------------------------|
| Složení | PA 6.6 |
| Vazba | plátnová |
| Vlastnosti | pevnost, tuhost |
| Použití | výroba předních airbagů |

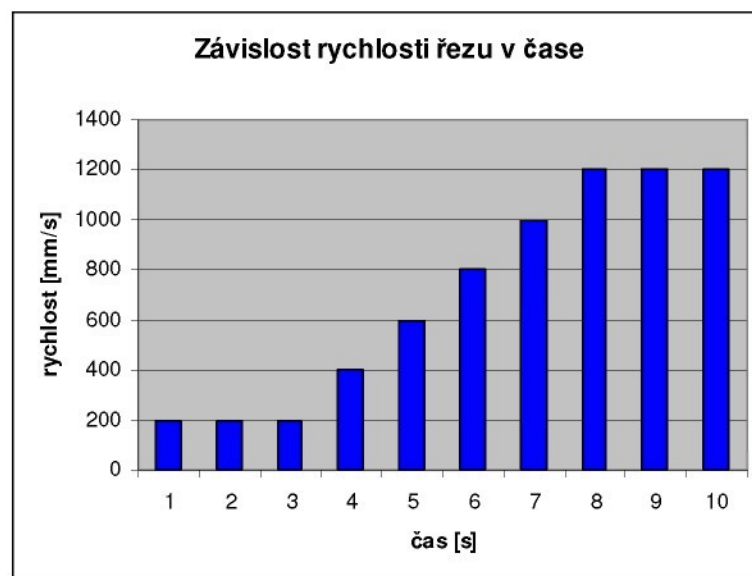
Tab. 18 Charakteristika vzorku 29



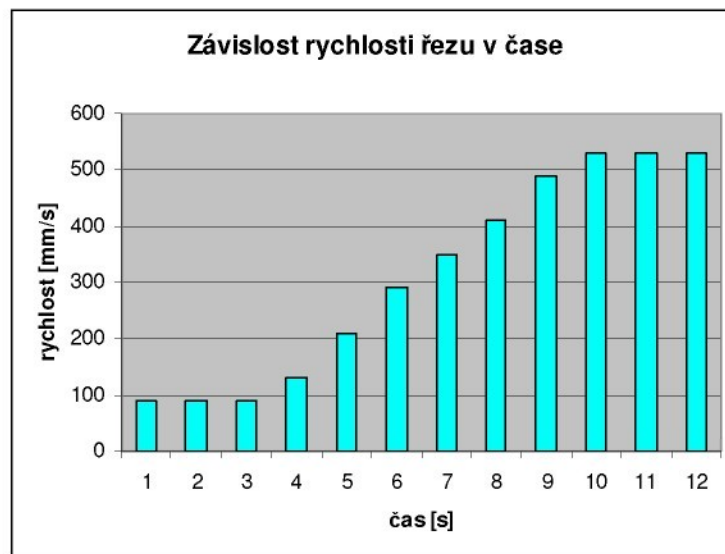


Obr. 18 Nascanovaný vzorek

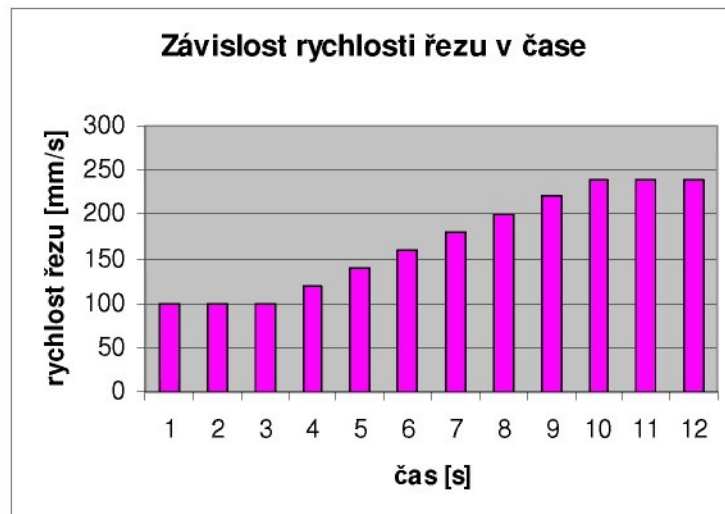
Pro řezání airbagů je laser velmi vhodný. Okraje se netřepí, řez je čistý. U 3 vrstev došlo ke spečení okrajů. Stejně tak pět vrstev je neoddělitelně spečeno. Vhodným řešením by bylo vkládat mezi jednotlivé vrstvy materiálu např. papír. Řezy jsou hladké, neopálené.



Obr.19 Graf závislosti rychlosti řezu v čase pro 1 vrstvu textilie



Obr. 20 Graf závislosti rychlosti řezu v čase pro 3 vrstvy textilie

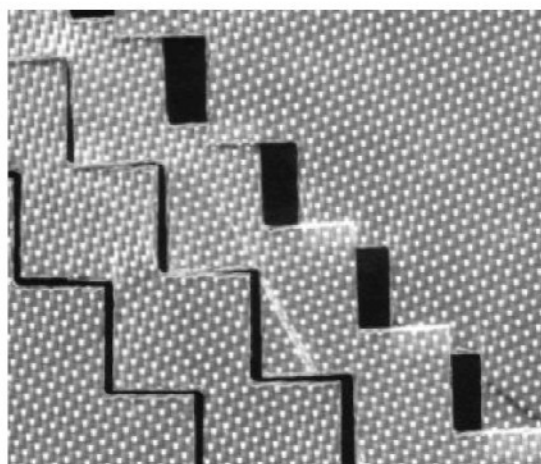


Obr. 21 Graf závislosti rychlosti řezu v čase pro 5 vrstev textilie

Vzorek č. 31

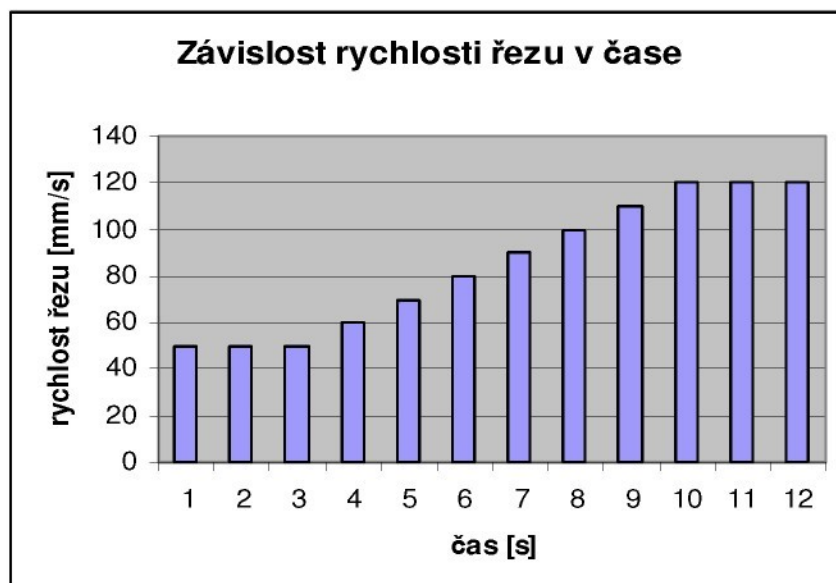
| 31. Skleněné vlákno | |
|---------------------|-------------------|
| Složení | |
| Vazba | Plátnová |
| Vlastnosti | Pevnost, odolnost |
| Použití | Stavebnictví |

Tab. 19 Charakteristika vzorku 31



Obr.22 Nascanovaný vzorek

Tento materiál se řezal velmi dobře. Okraje jsou čisté, nespečené, třepí se. Řezání laserovým paprskem je pro tento materiál velmi vhodné.



Obr. 23 Graf závislosti rychlosti řezu v čase pro 1 vrstvu textilie

5. 4. Ověření matematického modelu se vzorkem č. 31, skleněné vlákno

a) výpočet exponovaného objemu tkaniny V:

$$V = d_s^2 * T = 0,09^2 * 0,788 = 0,0064 \text{ mm}^3$$

d_s celková velikost ohniska 0,09 [mm]

T tloušťka skleněného vlákna [mm]

b) výpočet exponované hmotnosti elementu tkaniny m_e

$$m_e = V * \rho = 0,0064 * 1,6 * 10^{-6} = 10,3 * 10^{-9} \text{ kg}$$

V objem tkaniny 0,0064 [mm³]

ρ hustota skleněného vlákna [kg/mm³]

1. Energie využitá pro ohřátí exponovaného elementu tkaniny na bod teploty tání E_p

$$E_p = m_e * c_p * (t_t - t_p) = 10,3 * 10^{-9} * 8400 * (1000 - 20) = 848 * 10^{-4} \text{ J}$$

m_e hmotnost elementu tkaniny $10,3 * 10^{-9}$ [kg]

c_p měrná tepelná kapacita elementu 8400 [J · kg⁻¹ · K⁻¹]

t_t teplota tání tkaniny 1000 [°C]

t_p teplota počáteční (teplota v laboratoři) 20 [°C]

2. Energie potřebná k přechodu exponovaného elementu tkaniny z pevného skupenství na kapalné E_{pk}

$$E_{pk} = m_e * Q_T = 10,3 * 10^{-9} * 1,3 * 10^6 = 134 * 10^{-4} \text{ J}$$

m_e hmotnost elementu tkaniny $10,3 * 10^{-9}$ [kg]

Q_T měrné skupenské teplo tání tkaniny [J/kg]

Pozn. Vzhledem k tomu, že se nepodařilo získat skutečné hodnoty měrného skupenského tepla tání tkaniny, je tato hodnota odhadnuta pomocí měrného skupenského tepla tání křemíku, což je svým složením nejblíže skleněnému vláknu, tedy $Q_T = 1,3 * 10^{-6} \text{ J} \cdot \text{kg}^{-1} \cdot \text{K}^{-1}$. Stejně jsou dále odhadnuty hodnoty dalších měrných tepelných kapacit a tepel.

3. Energie využitá pro ohřátí exponovaného elementu tkaniny na bod varu E_k

$$E_k = m_e * c_{pk} * (t_v - t_t) = 10,3 \cdot 10^{-9} * 1,6 \cdot 10^4 * (2000 - 1000) = 1648 \cdot 10^{-4} \text{ J}$$

m_e hmotnost elementu tkaniny $10,3 \cdot 10^{-9} \text{ [kg]}$

c_{pk} měrná tepelná kapacita tkaniny v kapalném skupenství $1,6 \cdot 10^4 \text{ [J} \cdot \text{kg}^{-1} \cdot \text{K}^{-1}]$

t_v teplota vypařování tkaniny $2000 \text{ [}^\circ\text{C]}$ - odhad

t_t teplota tkaniny $[^\circ\text{C}]$

pozn. c_{pk} se získalo z c_{pk} vody ($4180 \text{ J} \cdot \text{kg}^{-1} \cdot \text{K}^{-1}$) vynásobené koeficientem 3,9

4. Energie potřebná k přechodu exponovaného elementu tkaniny z kapalného skupenství na plynné E_{kp}

$$E_{kp} = m_e * Q_v = 10,3 \cdot 10^{-9} * 7,8 \cdot 10^6 = 803,4 \cdot 10^{-4} \text{ J}$$

Q_v měrné skupenské teplo vypařování tkaniny $7,8 \cdot 10^6 \text{ [J/kg]}$

pozn. Q_v získáno z hodnoty Q_v ledu 2000260 vynásobené koeficientem 3,9

5. Energie oddělování E_o

$$E_o = E_p + E_{pk} + E_k + E_{kp} = 848 \cdot 10^{-4} + 134 \cdot 10^{-4} + 1648 \cdot 10^{-4} + 803,4 \cdot 10^{-4} = \\ = 3433,4 \text{ J}$$

6. Naměřená hodnota E_o

Pro zhodnocení energií oddělování byl vybrán vzorek č.31 skleněné vlákno, uvedený na straně 48. Změřená hodnota oddělování je 3000 J a teoretická hodnota 3433,4 J.

Při teoretických výpočtech byla provedena approximace hodnot měrných tepelných kapacit skla hodnotami pro materiál, které jsou svým složením sklu nejbližší. Při získání konkrétních materiálových konstant tkaniny, by výsledky byly přesnější.

Vypočtená hodnota energie potřebná k oddělení elementu 1 vrstvy tkaniny

| Vzorek | Číslo řezu | Tloušťka (mm) | ØDs | P[W] | V _{krit} [mm/s] | E _{oddělov} [J] |
|--------|------------|------------------|------|------|-----------------------------|-----------------------------|
| 1 | 1 | 0,409 | 0,09 | 16 | 1200 | 160 |
| 2 | 1 | 0,671 | 0,09 | 16 | 700 | 80 |
| 3 | 4 | 0,0058 | 0,09 | 7 | 1200 | 64 |
| 4 | 4 | 2,702 | 0,09 | 23 | 700 | 105 |
| 5 | 5 | 1,761 | 0,09 | 16 | 700 | 63 |
| 6 | 3 | 0,313 | 0,09 | 16 | 700 | 52,5 |
| 7 | 1 | 0,766 | 0,09 | 20 | 1100 | 210 |
| 8 | 1 | 1,179 | 0,09 | 20 | 1100 | 210 |
| 9 | 4 | 0,428 | 0,09 | 7 | 1200 | 96 |
| 10 | 1 | 1,201 | 0,09 | 23 | 800 | 160 |
| 11 | 3 | 0,238 | 0,09 | 16 | 1200 | 120 |
| 12 | 3 | 0,266 | 0,09 | 7 | 700 | 35 |
| 13 | 3 | 0,091 | 0,09 | 7 | 700 | 28 |
| 14 | 3 | 0,098 | 0,09 | 7 | 700 | 21 |
| 15 | 2 | 2,101 | 0,09 | 16 | 1200 | 97,5 |
| 16 | 4 | 0,721 | 0,09 | 25 | 700 | 250 |
| 17 | 3 | 1,561 | 0,09 | 25 | 1200 | 30000 |
| 18 | 3 | 0,847 | 0,09 | 16 | 800 | 60 |
| 19 | 1 | 2,106 | 0,09 | 16 | 1000 | 110 |
| 20 | 1 | 3,568 | 0,09 | 16 | 900 | 100 |
| 21 | 1 | 1,008 | 0,09 | 20 | 800 | 120 |
| 22 | 1 | 0,205 | 0,09 | 20 | 1200 | 225 |
| 23 | 2 | 0,918 | 0,09 | 23 | 700 | 140 |
| 24 | 3 | 0,352 | 0,09 | 7 | 1000 | 48 |
| 25 | 3 | 1,207 | 0,09 | 16 | 700 | 52,5 |
| 26 | 1 | 0,498 | 0,09 | 16 | 1000 | 120 |
| 27 | 2 | 0,561 | 0,09 | 23 | 700 | 120 |
| 28 | 1 | 0,815 | 0,09 | 20 | 800 | 120 |
| 29 | 2 | 0,420 | 0,09 | 23 | 1200 | 105 |
| 30 | 3 | 0,788 | 0,09 | 7 | 600 | 20 |
| 31. | 1 | 0,78 | 0,09 | 20 | 120 | 3000 |
| 32. | 1 | 0,81 | 0,09 | 20 | 120 | 3000 |

Tab. 20 Hodnoty pro určení energie oddělování 1 vrstvy

Vypočtená hodnota energie potřebná k oddělení 3 vrstev tkaniny

| Vzorek | Číslo řezu | Tloušťka [mm] | ØDs | P[W] | V _{krit} [mm/s] | E _{oddělov} [J] |
|--------|------------|---------------|------|------|--------------------------|--------------------------|
| 1 | 5 | 1,227 | 0,09 | 20 | 1100 | 175 |
| 2 | 4 | 2,684 | 0,09 | 20 | 350 | 240 |
| 3 | 2 | 0,174 | 0,09 | 7 | 1200 | 80 |
| 4 | 3 | 8,106 | 0,09 | 23 | 350 | 1120 |
| 5 | 4 | 5,283 | 0,09 | 25 | 160 | 935 |
| 6 | 4 | 0,939 | 0,09 | 23 | 350 | 220 |
| 7 | 5 | 2,298 | 0,09 | 25 | 70 | 1750 |
| 8 | 3 | 3,537 | 0,09 | 25 | 120 | 3750 |
| 9 | 1 | 1,284 | 0,09 | 20 | 700 | 105 |
| 10 | 2 | 3,603 | 0,09 | 25 | 350 | 250 |
| 11 | 2 | 0,714 | 0,09 | 23 | 700 | 140 |
| 12 | 2 | 0,798 | 0,09 | 16 | 700 | 70 |
| 13 | 2 | 0,273 | 0,09 | 16 | 700 | 70 |
| 14 | 3 | 0,294 | 0,09 | 7 | 600 | 25 |
| 15 | 1 | 6,303 | 0,09 | 16 | 700 | 80 |
| 16 | 4 | 2,163 | 0,09 | 25 | - | - |
| 17 | 0 | 4,683 | 0,09 | 0 | - | - |
| 18 | 4 | 2,541 | 0,09 | 23 | 640 | 180 |
| 19 | 3 | 6,318 | 0,09 | 25 | 400 | 300 |
| 20 | 3 | 10,68 | 0,09 | 25 | 300 | 200 |
| 21 | 0 | 3,024 | 0,09 | - | - | - |
| 22 | 3 | 0,615 | 0,09 | 25 | 350 | 275 |
| 23 | 3 | 2,754 | 0,09 | 25 | 70 | 1875 |
| 24 | 4 | 1,056 | 0,09 | 7 | 1100 | 65 |
| 25 | 3 | 3,621 | 0,09 | 25 | 450 | 325 |
| 26 | 5 | 1,494 | 0,09 | 25 | 420 | 250 |
| 27 | 1 | 1,683 | 0,09 | 23 | - | - |
| 28 | 2 | 2,445 | 0,09 | 25 | 270 | 325 |
| 29 | 3 | 1,26 | 0,09 | 23 | 420 | 280 |
| 30 | 4 | 2,364 | 0,09 | 23 | 640 | 190 |

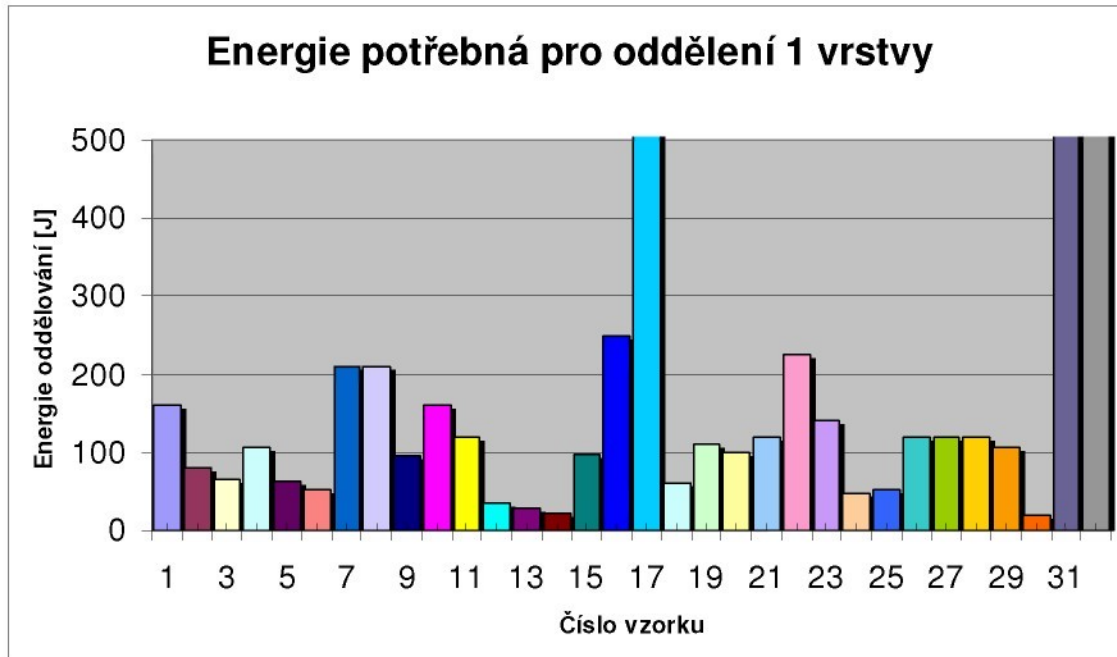
Tab. 21 Hodnoty pro určení energie oddělování 3 vrstev

Vypočtená hodnota energie potřebná k oddělení 5 vrstev tkaniny

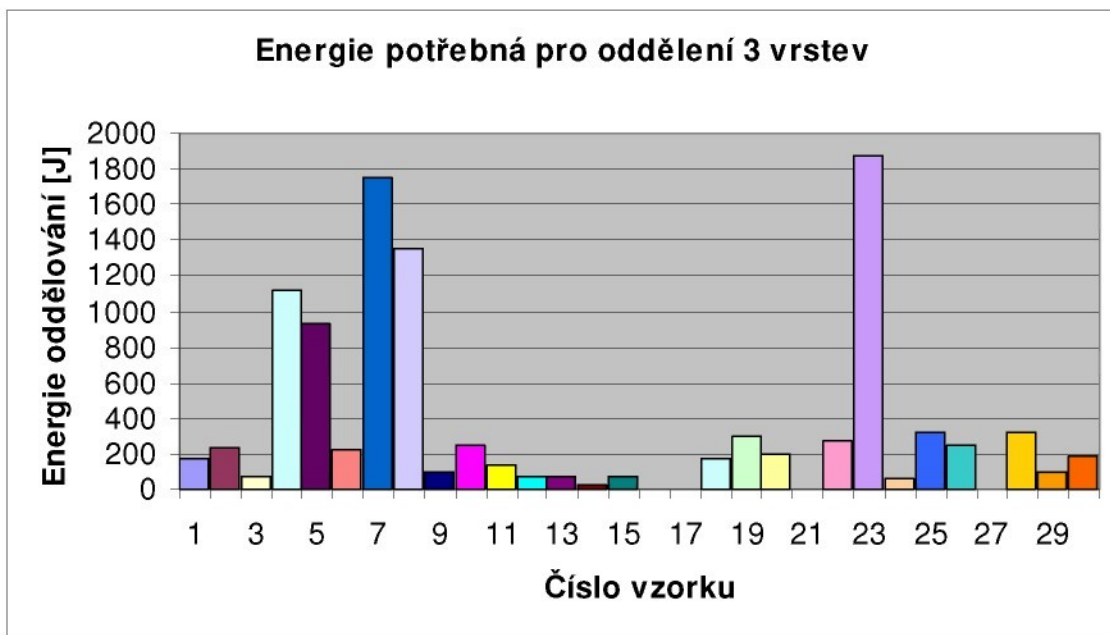
| Vzorek | Číslo řezu | Tloušťka [mm] | øDs | P[W] | V _{krit} [mm/s] | E _{oddělov} [J] |
|--------|------------|---------------|------|------|--------------------------|--------------------------|
| 1 | 4 | 2,045 | 0,09 | 23 | 300 | 255 |
| 2 | 0 | 3,355 | 0,09 | 0 | - | - |
| 3 | 3 | 0,29 | 0,09 | 25 | 1200 | 96 |
| 4 | 0 | 13,51 | 0,09 | 0 | - | - |
| 5 | 1 | 8,805 | 0,09 | 25 | 80 | 1875 |
| 6 | 1 | 1,565 | 0,09 | 25 | 50 | 450 |
| 7 | 0 | 3,83 | 0,09 | 0 | 70 | 1750 |
| 8 | 1 | 5,895 | 0,09 | 30 | 70 | 2100 |
| 9 | 2 | 2,14 | 0,09 | 23 | 210 | 510 |
| 10 | 1 | 6,005 | 0,09 | 30 | 120 | 4500 |
| 11 | 3 | 0,952 | 0,09 | 25 | 280 | 231 |
| 12 | 3 | 0,798 | 0,09 | 23 | 560 | 160 |
| 13 | 2 | 0,455 | 0,09 | 23 | 700 | 140 |
| 14 | 3 | 0,49 | 0,09 | 7 | 700 | 35 |
| 15 | 4 | 10,505 | 0,09 | 25 | 450 | 225 |
| 16 | 0 | 3,605 | 0,09 | 0 | - | - |
| 17 | 0 | 7,805 | 0,09 | 0 | - | - |
| 18 | 2 | 4,235 | 0,09 | 25 | 300 | 250 |
| 19 | 0 | 10,56 | 0,09 | - | - | - |
| 20 | 0 | 17,84 | 0,09 | 0 | - | - |
| 21 | 0 | 3,024 | 0,09 | - | - | - |
| 22 | 3 | 1,025 | 0,09 | 25 | 210 | 600 |
| 23 | - | 4,59 | 0,09 | - | - | - |
| 24 | 3 | 1,76 | 0,09 | 16 | 900 | 82,5 |
| 25 | 2 | 6,035 | 0,09 | 25 | 120 | 468 |
| 26 | 1 | 2,49 | 0,09 | 30 | 60 | 1125 |
| 27 | - | 2,805 | 0,09 | - | - | - |
| 28 | 2 | 4,075 | 0,09 | 25 | 100 | 625 |
| 29 | 2 | 2,1 | 0,09 | 23 | 200 | 1120 |
| 30 | 1 | 3,94 | 0,09 | 23 | 300 | 782 |

Tab. 22 Hodnoty pro určení energie oddělování 5 vrstvy

Pozn. (-) Materiály, které se nezdařilo oddělit.



Obr. 24 Graf energie potřebné pro oddělení 1 vrstvy



Obr. 25 Graf energie potřebné pro oddělení 3 vrstev



Obr. 26 Graf energie potřebné pro oddělení 5 vrstev

6. Závěr

Předložená práce vznikla studiem teoretických poznatků z dostupného studijního materiálu [viz. použitá literatura] a provedením vlastního experimentu, kdy byly změřeny hodnoty a parametry laserového zařízení a vypočítány hodnoty energie potřebné k oddělení textilního materiálu. Práce byla zaměřena na oddělování vrstev textilních materiálů.

Úvodní část je zaměřena na podstatu laserového záření, zabývá se typy laserů a jejich využitím..

V další kapitole se práce zaměřuje na specifikaci textilních materiálů, druhy, popis vlastností a využití textilií v oděvním průmyslu a pro technické aplikace.

Hlavní část práce se věnuje řezání laserovým paprskem, popisuje vhodné a nevhodné textilní materiály pro řezání laserovým paprskem ve vrstvách.Tato část práce řeší samotný řezný proces, ale i matematický model, který se snaží popsat tuto technologii.

V experimentální části se zaměřují na vlastní řezání laserovým paprskem na různých vzorcích přírodních a syntetických materiálů, která zahrnuje druh, vlastnosti, použití materiálu a vyhodnocení kvality řezů.

Tento experiment a výpočty prokázaly, že používaný laser (uvedený v kapitole 5), je při daných parametrech vhodný také pro oddělování textilních materiálů ve vrstvách, v některých případech by bylo lepší využít laseru vyššího výkonu, což se dá vyřešit úpravou stávajícího zařízení.

Řezání laserovým paprskem je vhodné u mnoha materiálů, jsou však i materiály jako např. kůže, kdy bylo zapotřebí většího výkonu a nižší řezné rychlosti, aby vůbec

došlo k oddělení vrstvy. Metoda řezání textilních materiálu laserem ve vrstvách v oděvním průmyslu má spoustu výhod a je zapotřebí tento proces nadále zdokonalovat.

Seznam literatury

- [1] Kozlovská, H., Bohanesová, B. :Oděvní materiály I, Informatorium, Praha 1998
- [2] Militký, J. : Přednášky : Textilní vlákna, speciální vlákna, TUL, Liberec 2005
- [3] Sedláček, K. : Laser v mnoha podobách, Naše vojsko, Praha 1982
- [4] Sodomka, L. : Struktura, vlastnosti, diagnostika a nové technologie oddělování, spojování a pojení textilií, TUL, Liberec 2001
- [5] Strumban, E. J., Štoll, I. : Laser a optoelektronika, Panorama, Praha 1998
- [6] Štoll, I. : Paprsek budoucnosti, Pressfoto, Praha 1975
- [7] Brichtová, L. : The appraisal of the laser cutting and theoretic model presentation for the cutting energy determination. 13th international conference STURTEX (Proceedings), Technical University of Liberec, November 2006
- [8] www.chps.cz
- [9] wwwENCYKLOPEDISeZnam.cz
- [10] www.maturita.cz
- [11] www.welding.cz
- [12] www.pavko.com
- [13] Žáčková, I : Bakalářská práce Studie o nekonvenčních způsobech oddělování

Seznam tabulek

| | | |
|----------------|---|-----------|
| Tab. 1 | Vlastnosti bavlněných materiálů | 16 |
| Tab. 2 | Vlastnosti lněných materiálů | 16 |
| Tab. 3 | Vlastnosti ovčí vlny | 17 |
| Tab. 4 | Vlastnosti přírodního hedvábí | 17 |
| Tab. 5 | Vlastnosti viskózových vláken | 19 |
| Tab. 6 | Vlastnosti acetátových vláken | 19 |
| Tab. 7 | Vlastnosti polyamidových vláken | 20 |
| Tab. 8 | Vlastnosti polyesterových vláken | 20 |
| Tab. 9 | Vlastnosti akrylových vláken | 21 |
| Tab. 10 | Vlastnosti polypropylénových vláken | 21 |
| Tab. 11 | Vlastnosti kovových vláken | 22 |
| Tab. 12 | Vlastnosti skleněných vláken | 22 |
| Tab. 13 | Vlastnosti uhlíkových vláken | 22 |
| Tab. 14 | Výkonová charakteristika laseru | 37 |
| Tab. 15 | Přehled vzorků využitých v experimentu | 40 |
| Tab. 16 | Charakteristika vzorku 4 | 42 |
| Tab. 17 | Charakteristika vzorku 10 | 44 |
| Tab. 18 | Charakteristika vzorku 29 | 46 |

| | | |
|---------|--|----|
| Tab. 19 | Charakteristika vzorku 31 | 49 |
| Tab. 20 | Hodnoty pro určení energie oddělování 1 vrstvy | 52 |
| Tab. 21 | Hodnoty pro určení energie oddělování 1 vrstvy | 53 |
| Tab. 22 | Hodnoty pro určení energie oddělování 1 vrstvy | 54 |

Seznam obrázků

| | | |
|---------|---|----|
| Obr.1 | Lom laserového paprsku | 11 |
| Obr.2 | Přibližná doba působení paprsku na tkaninu | 27 |
| Obr.3 | Doba působení paprsku přímo úměrně sečné | 28 |
| Obr.4 | Schéma přeměny syntetického materiálu na plyn | 31 |
| Obr.5 | Laserová trubice | 34 |
| Obr.6 | Zdroj vysokého napětí | 35 |
| Obr.7 | Mod laseru TEM ₀₀ | 35 |
| Obr. 8 | Optická trasa paprsku | 36 |
| Obr. 9 | Graf závislosti celkové velikosti ohniska na difracci a aberaci | 37 |
| Obr. 10 | Pojízdné zařízení s čočkou | 39 |
| Obr. 11 | Řez vzorkem pod mikroskopem | 42 |
| Obr. 12 | Graf závislosti rychlosti řezu v čase pro 1 vrstvu textilie | 43 |
| Obr. 13 | Graf závislosti rychlosti řezu v čase pro 3 vrstvy textilie | 43 |
| Obr. 14 | Řez vzorky pod mikroskopem | 44 |
| Obr. 15 | Graf závislosti rychlosti řezu v čase pro 1 vrstvu textilie | 45 |
| Obr. 16 | Graf závislosti rychlosti řezu v čase pro 3 vrstvy textilie | 45 |
| Obr. 17 | Graf závislosti rychlosti řezu v čase pro 5 vrstev textilie | 46 |
| Obr. 18 | Nascanovaný vzorek | 47 |
| Obr. 19 | Graf závislosti rychlosti řezu v čase pro 1 vrstvu textilie | 47 |
| Obr. 20 | Graf závislosti rychlosti řezu v čase pro 3 vrstvy textilie | 48 |
| Obr. 21 | Graf závislosti rychlosti řezu v čase pro 5 vrstev textilie | 48 |
| Obr. 22 | Nascanovaný vzorek | 49 |
| Obr. 23 | Graf závislosti rychlosti řezu v čase pro 1 vrstvu textilie | 49 |
| Obr. 24 | Graf energie potřebné pro oddělení 1 vrstvy | 55 |
| Obr. 25 | Graf energie potřebné pro oddělení 3 vrstev | 56 |
| Obr. 26 | Graf energie potřebné pro oddělení 5 vrstev | 57 |

Příloha 1

Tabulky

| | | |
|------------|----------------------------------|----|
| Tabulka 1 | Materiály použité pro experiment | 1 |
| Tabulka 2 | Charakteristika vzorku 1 | 2 |
| Tabulka 3 | Charakteristika vzorku 2 | 5 |
| Tabulka 4 | Charakteristika vzorku 3 | 7 |
| Tabulka 5 | Charakteristika vzorku 4 | 10 |
| Tabulka 6 | Charakteristika vzorku 5 | 12 |
| Tabulka 7 | Charakteristika vzorku 6 | 15 |
| Tabulka 8 | Charakteristika vzorku 7 | 18 |
| Tabulka 9 | Charakteristika vzorku 8 | 21 |
| Tabulka 10 | Charakteristika vzorku 9 | 24 |
| Tabulka 11 | Charakteristika vzorku 10 | 27 |
| Tabulka 12 | Charakteristika vzorku 11 | 30 |
| Tabulka 13 | Charakteristika vzorku 12 | 33 |
| Tabulka 14 | Charakteristika vzorku 13 | 36 |
| Tabulka 15 | Charakteristika vzorku 14 | 39 |
| Tabulka 16 | Charakteristika vzorku 15 | 42 |

Obrázky

| | | |
|--------|------------------------|---|
| Obr. 1 | Nascanovaný vzorek č.1 | 2 |
| Obr. 2 | Nascanovaný vzorek č.2 | 5 |

| | | |
|---------|-----------------------------------|----|
| Obr. 3 | Nascanovaný vzorek č.3 | 7 |
| Obr. 4 | Řez vzorkem 4 pod mikroskopem | 10 |
| Obr. 5 | Nascanovaný vzorek č.5 | 12 |
| Obr. 6 | Nascanovaný vzorek č.6 | 15 |
| Obr. 7 | Nascanovaný vzorek č.7 | 18 |
| Obr. 8 | Řez vzorkem č.8 pod mikroskopem | 21 |
| Obr. 9 | Nascanovaný vzorek č.9 | 24 |
| Obr. 10 | Řez vzorkem č.10 pod mikroskopem | 27 |
| Obr. 11 | Řez vzorkem č. 11 pod mikroskopem | 30 |
| Obr. 12 | Nascanovaný vzorek č.12 | 33 |
| Obr. 13 | Nascanovaný vzorek č.13 | 36 |
| Obr. 14 | Nascanovaný vzorek č.14 | 39 |
| Obr. 15 | Řez vzorkem č.15 pod mikroskopem | 42 |

Příloha 2

Tabulky

| | | |
|------------|---------------------------|----|
| Tabulka 17 | Charakteristika vzorku 16 | 45 |
| Tabulka 18 | Charakteristika vzorku 17 | 47 |
| Tabulka 19 | Charakteristika vzorku 18 | 49 |
| Tabulka 20 | Charakteristika vzorku 19 | 52 |
| Tabulka 21 | Charakteristika vzorku 20 | 54 |
| Tabulka 22 | Charakteristika vzorku 21 | 56 |
| Tabulka 23 | Charakteristika vzorku 22 | 58 |
| Tabulka 24 | Charakteristika vzorku 23 | 61 |
| Tabulka 25 | Charakteristika vzorku 24 | 63 |
| Tabulka 26 | Charakteristika vzorku 25 | 66 |
| Tabulka 27 | Charakteristika vzorku 26 | 69 |
| Tabulka 28 | Charakteristika vzorku 27 | 72 |
| Tabulka 29 | Charakteristika vzorku 28 | 74 |
| Tabulka 30 | Charakteristika vzorku 29 | 77 |
| Tabulka 31 | Charakteristika vzorku 30 | 80 |
| Tabulka 32 | Charakteristika vzorku 31 | 83 |
| Tabulka 33 | Charakteristika vzorku 32 | 85 |

Obrázky

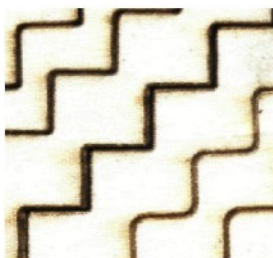
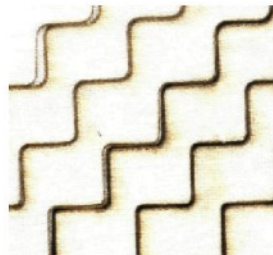
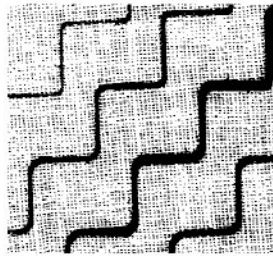
| | | |
|---------|----------------------------------|----|
| Obr. 17 | Nascanovaný vzorek č.17 | 47 |
| Obr. 18 | Nascanovaný vzorek č. 18 | 49 |
| Obr. 19 | Řez vzorkem č.19 pod mikroskopem | 52 |

| | | |
|---------|-----------------------------------|----|
| Obr. 20 | Nascanovaný vzorek č.20 | 54 |
| Obr. 21 | Nascanovaný vzorek č.21 | 56 |
| Obr. 22 | Nascanovaný vzorek č. 22 | 58 |
| Obr. 23 | Řez vzorkem č.23 pod mikroskopem | 61 |
| Obr. 24 | Řez vzorkem č. 24 pod mikroskopem | 63 |
| Obr. 25 | Řez vzorkem č.25 pod mikroskopem | 66 |
| Obr. 26 | Nascanovaný vzorek č.26 | 69 |
| Obr. 27 | Řez vzorkem č.27 pod mikroskopem | 72 |
| Obr. 28 | Nascanovaný vzorek č.28 | 74 |
| Obr. 29 | Nascanovaný vzorek č.29 | 77 |
| Obr. 30 | Nascanovaný vzorek č.30 | 80 |
| Obr. 31 | Nascanovaný vzorek č.31 | 83 |
| Obr. 32 | Nascanovaný vzorek č.32 | 85 |

Přílohouvá část 1
(vzorky použité pro experiment)

| 1. Lněné plátno: | |
|------------------|---------------------------------------|
| Složení | 100% LI |
| Vazba | plátnová |
| Vlastnosti : | hrubý, chladivý omak, pevné, navlhavé |
| Použití: | ložní prádlo, letní ošacení |

Tab. 16 Charakteristika vzorku 1



Obr. 8 Nascanované tkaniny

Při řezání jedné vrstvy bylo využito nízkých řezných výkonů, po paprsku zůstává opálená stopa, okraje se netřepí. V případě řezání tří vrstev byly prořezány všechny vrstvy po celé délce, zůstaly opálené okraje. Pro pět vrstev byla využita nižší řezná rychlosť, aby došlo k prořezání všech vrstev. Okraje jsou nespečené

Lněné plátno

1 vrstva

Řez číslo 1

3 vrstvy

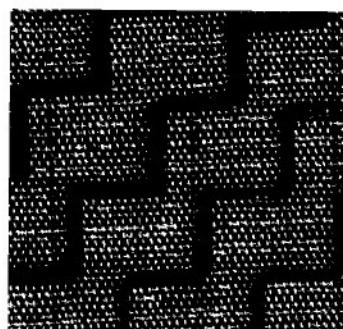
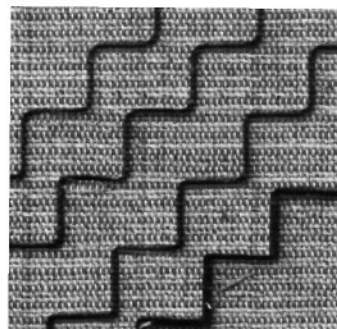
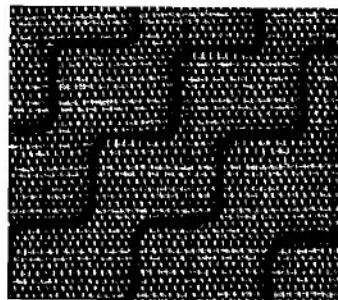
Řez č.5

5vrstev

Řez číslo 4

| 2. Žíněnka | |
|------------|--|
| Složení | Osnova 100%LI, útek 100%PES |
| Vazba | plátnová |
| Vlastnosti | pevnost, tvarová stálost |
| Použití | vyztužování prsních částí pánských sak |

Tab.17 Charakteristika vzorku 2



Obr. 9 Nascanované vrstvy

Při řezání jedné vrstvy bylo použito nízkých výkonů a došlo k prořezání vrstvy v celé délce. Okraje jsou opálené. U tří vrstev byla rychlosť snížena na polovinu, i přesto není spodní vrstva prořezaná v celé délce. Okraje jsou opálené, nespečené. U pěti vrstev byla snížena rychlosť a zvýšen výkon, i přesto nedošlo k prořezání posledních 2 vrstev.

Žíněnka

1 vrstva

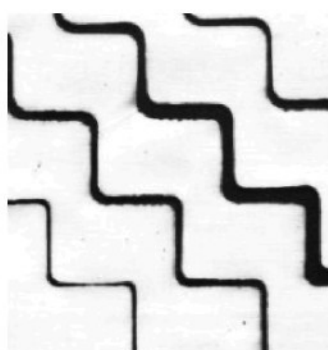
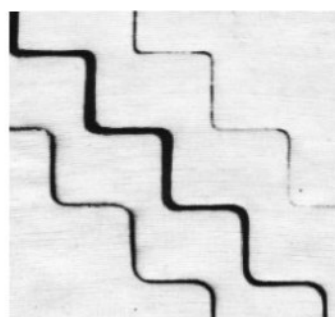
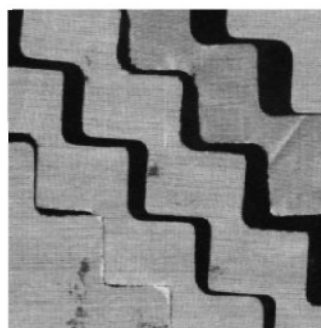
Řez číslo 1

3 vrstvy

Řez číslo 4

| 3. Přírodní hedvábí | |
|---------------------|-----------------------------|
| Složení | 100% SE |
| Vazba | Plátnová |
| Vlastnosti | lesk, klouzavý omak |
| Použití | košile, šaty, letní ošacení |

Tab.18 Charakteristika vzorku 3



Obr.10 Nascanované vzorky

Jde o velmi jemnou tkaninu, proto bylo nutné použít nejmenší výkon a co nejvyšší rychlosť. Zůstavá opálená stopa po laseru. Při oddělování 3 vrstev jsou okraje opálené, nevhledné, zažloutlé. I při oddělování pěti vrstev došlo k prořezání v celé délce při nízkém výkonu. Okraje jsou opálené.

Přírodní hedvábí

1 vrstva

Řez číslo 4

3 vrstvy

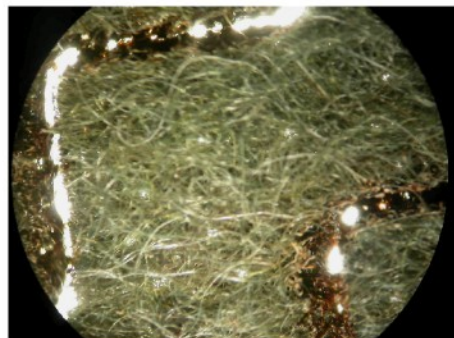
Řez číslo 2

5 vrstev

Řez číslo 3

| 4. Loden | |
|------------|--|
| Složení | 100%WO |
| Vazba | tkaný technikou dvojího útku, plátnová |
| Vlastnosti | vysoká pevnost, hrubý omak |
| Použití | pracovní, lovecké pláště |

Tab. 19 Charakteristika vzoru 4



Obr. 11 Řez vzorkem pod mikroskopem

Již při řezání jedné vrstvy docházelo k zatavení okrajů. Vrstva byla prořezaná v celé délce. Při řezání tří vrstev bylo využito vyššího výkonu a nižší řezné rychlosti, i přesto nedošlo k úplnému prořezání vrstev. Okraje jsou hrubé, drsné, nevhledné.

Náš CO₂ laser není tak výkonný, aby prořezal pět vrstev.

Okraje i po delší době zapáchají.

Loden

1 vrstva

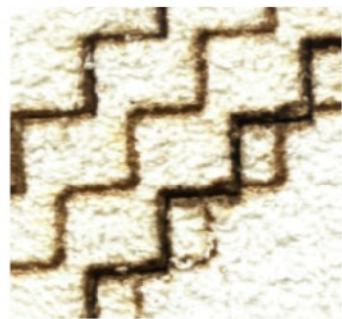
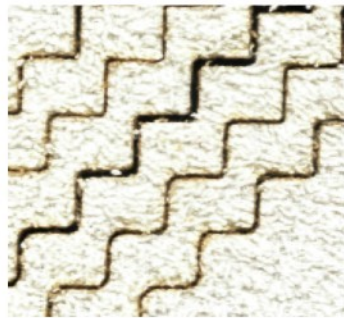
Řez číslo 4

3vrstvy

Řez číslo 3

| 5. Froté | |
|------------|--------------------|
| Složení | 100%CO |
| Vazba | plátnová |
| Vlastnosti | měkký omak, savost |
| Použití | ručníky, župany |

Tab. 20 Charakteristika vzorku 5



Obr. 11 Nascanonané vrstvy

Při řezání bavlněné tkaniny došlo k prořezání vrstvy v celé délce, okraje jsou opálené, nespečené. Při řezání tří vrstev bylo použito nižší rychlosti, i přesto nedošlo k prořezání třetí vrstvy v celé délce. U pěti vrstev bylo použito velmi nízké rychlosti a vysokého výkonu, i přesto nedošlo k prořezání ani třetí vrstvy.

Froté

1 vrstva

Řez číslo 5

3 vrstvy

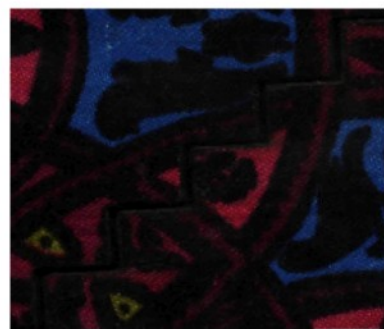
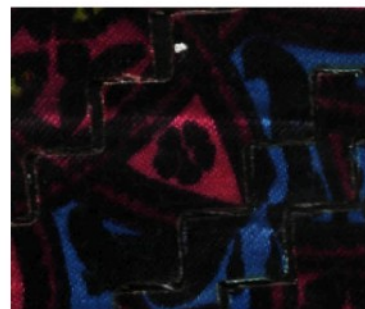
Řez číslo 4

5 vrstev

Řez číslo 1

| 6.Satén | |
|------------|-----------------------------------|
| Složení | 60%CO, 40%PES |
| Vazba | atlasová |
| Vlastnosti | počesaný rub, lesklá lícní strana |
| Použití | ložní prádlo, župany |

Tab. 21 Charakteristika vzorku 6



Obr .12 Nascanované vrstvy

Při řezání této bavlněné tkaniny došlo ke kvalitnímu výřezu. Řez je čistý, okraje se netřepí. U tří vrstev došlo k prořezání v celé délce snížením rychlosti. Okraje jsou příjemné na dotek, netřepí se. Při řezání pěti vrstev byla snížena rychlosť a zvýšen výkon laseru, i tak nedošlo k úplnému prořezání poslední vrstvy. Okraje nejsou spečené, netřepí se.

Satén

1 vrstva

Řez číslo 3

3 vrstvy

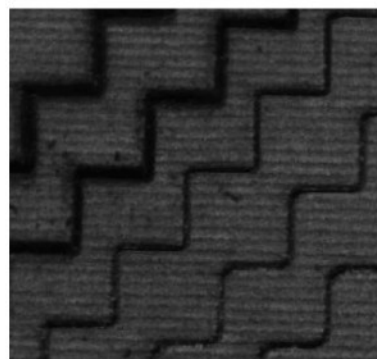
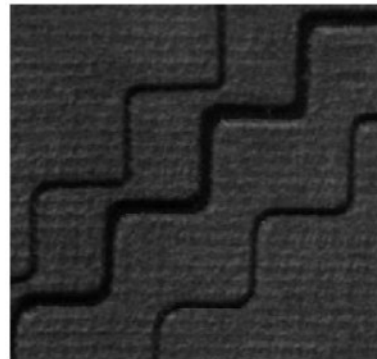
Řez číslo 4

5 vrstev

Řez číslo 1

| 7. Manšestr | |
|-------------|---|
| Složení | 97%CO, 3%EL |
| Vazba | plátnová, vlasová tkanina s řezaným útkem |
| Vlastnosti | pevná tkanina s měkkým omakem |
| Použití | Pracovní, sportovní a dětské oděvy |

Tab. 22 Charakteristika vzorku 7



Obr. 13 Nascanované vrstvy

Tkanina se velmi dobře řezala i přes vroubkovanou strukturu. Okraje jsou netřepivé, příjemné na omak. Tři vrstvy byly zcela prořezány zvýšením výkonu a snížením rychlosti laseru. Okraje jsou opálené, netřepivé.

Náš CO₂ laser by 5 vrstev tohoto materiálu nebyl schopen rozřezat.

Manšestr

1 vrstva

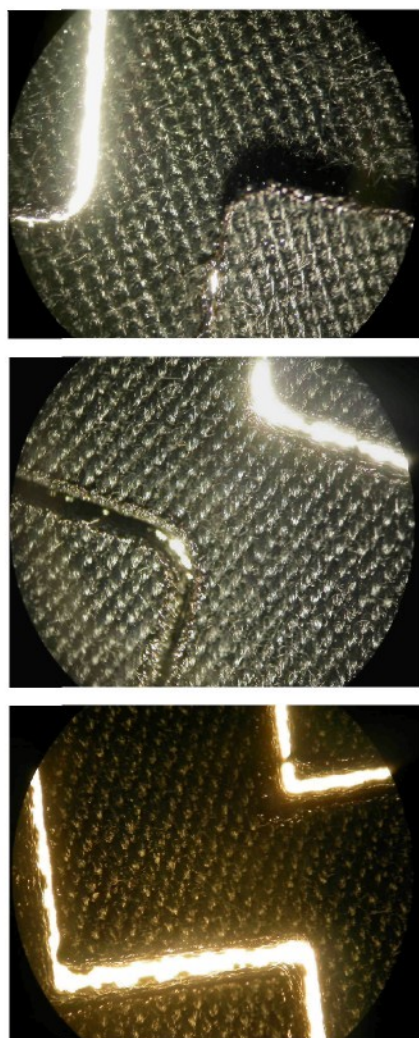
Řez číslo 1

3 vrstvy

Řez číslo 5

| 8. Flauš | |
|------------|--|
| Složení | 70%WO, 20%PES, 10%Nylon |
| Vazba | atlasová |
| Vlastnosti | Těžší hmotnost, kratší urovnaný ležatý vlas. |
| Použití | dámské a pánské pláště |

Tab. 23 Charakteristika vzorku 8



Obr. 14 Řez vzorky pod mikroskopem

Tuto vlasovou tkaninu bylo možné řezat zvýšením výkonu. Místa řezu i po delší době zapáchají. Snížením rychlosti došlo k prořezání tří vrstev, okraje jsou spečené. Pět vrstev bylo možné řezat zvýšením výkonu a snížením rychlosti, okraje jsou hrubé, drsné.

Flauš

1 vrstva

Řez číslo 1

3 vrstvy

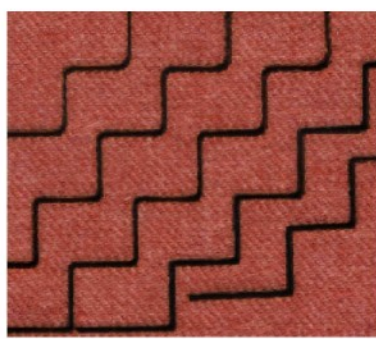
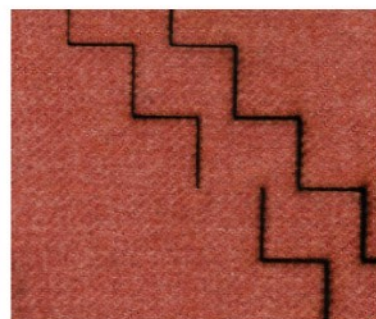
Řez číslo 3

5 vrstev

Řez číslo 1

| 9. Koverkot | |
|-------------|---|
| Složení | 80%WO, 20%PES |
| Vazba | keprová |
| Vlastnosti | žíhaný vzhled s výrazným jemným řádkováním, tužší omak |
| Použití | sportovní ošacení |

Tab. 24 Charakteristika vzorku 9



Obr. 15 Nascanované vrstvy

Tento materiál šel řezat velmi dobře i za použití nižších výkonů. Okraje se částečně třepí, vypadají pěkně. I tři vrstvy šly dobře řezat, okraje jsou nespečené. Pět vrstev bylo možné řezat snížením rychlosti laseru. Okraje jsou opálené, nespečené, hladké.

Koverkot

1 vrstva

Řez číslo 4

3 vrstvy

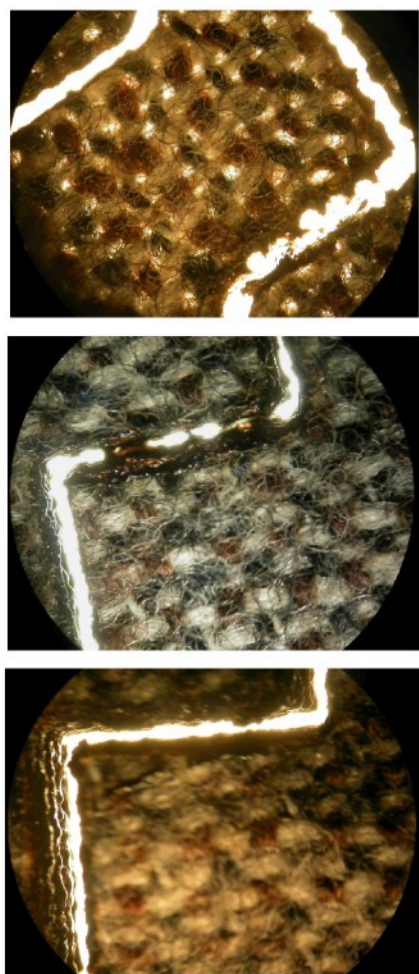
Řez číslo 1

5 vrstev

Řez číslo 2

| 10. Tvíd | |
|------------|--|
| Složení | 100%WO |
| Vazba | plátnová |
| Vlastnosti | měkká pružná tkanina, rozdílná barevnost osnovy a útku |
| Použití | kostýmy, obleky, pláště |

Tab. 25 Charakteristika vzorku 10



Obr. 16 Řez vzorky pod mikroskopem

Tento materiál se řezal velmi pěkně. Okraje jsou opálené, prořezané po celé délce vrstvy. Snížením rychlosti došlo k prořezání i tří vrstev, okraje jsou ovšem spečené. Zvýšením výkonu a snížením rychlosti došlo k oddělení i pěti vrstev, okraje jsou spečené.

Tvíd

1 vrstva

Řez číslo 1

3 vrstvy

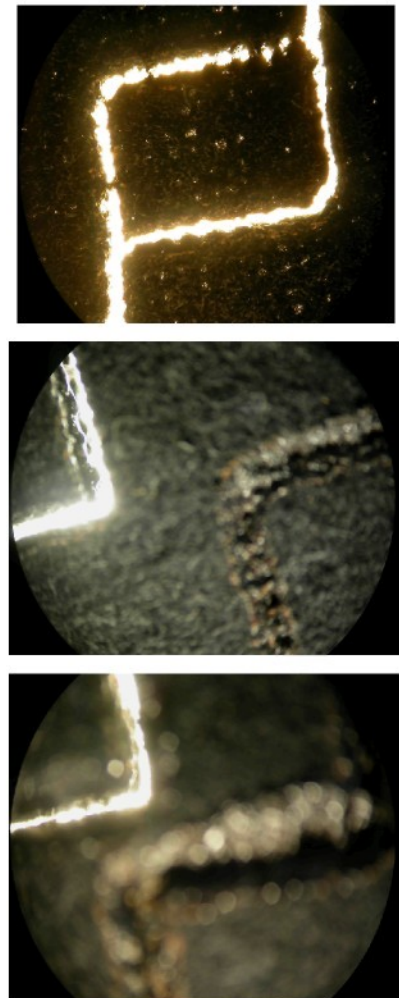
Řez číslo 2

5 vrstev

Řez číslo 1

| 11. Oblekovka | |
|---------------|----------------------|
| Složení | 96%WO, 4%PES |
| Vazba | plátnová |
| Vlastnosti | pevnost, měkký omak |
| Použití | pánské kalhoty, saka |

Tab. 26 Charakteristika vzorku 11



Obr. 17 Řez vzorkem pod mikroskopem

Při řezání oblekové tkaniny došlo k čistému řezu, okraje se netřepí. V případě řezání tří vrstev došlo k úplnému prořezání vrstev, okraje jsou spečené.

Snížením rychlosti bylo prořezáno i pět vrstev v celé délce, okraje jsou ovšem spečené.

Oblekovka

1 vrstva

Řez číslo 3

3 vrstvy

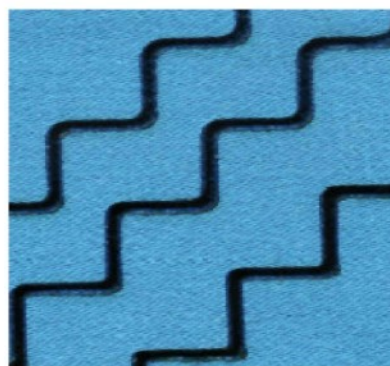
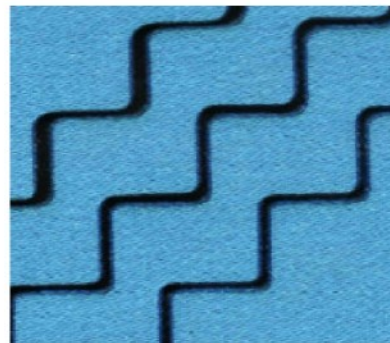
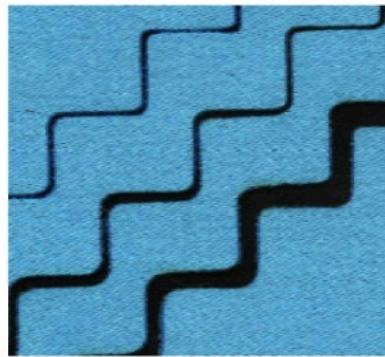
Řez číslo 2

5 vrstev

Řez číslo 3

| 12. Satén | |
|------------|------------------------|
| Složení | PESh |
| Vazba | atlasová |
| Vlastnosti | pevnost, chladivý omak |
| Použití | ložní prádlo, šaty |

Tab. 27 Charakteristika vzorku 12



Obr. 18 Nascanované vrstvy

Tato lesklá tkanina se řezala velmi pěkně, okraje jsou hladké, čisté, netřepivé. Tři vrstvy jsou také odděleny v celé délce, ale okraje jsou neoddělitelně spečené. I pět vrstev šlo velmi dobře oddělit, okraje jsou také spečené.

Satén

1 vrstva

Řez číslo 3

3 vrstvy

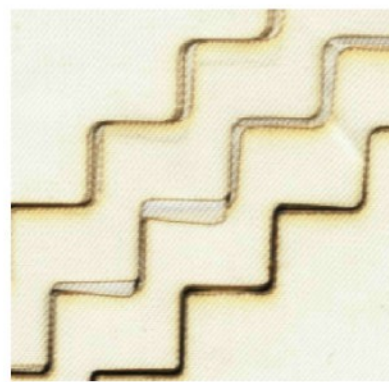
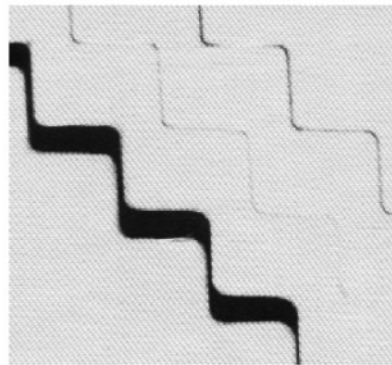
Řez číslo 2

5 vrstev

Řez číslo 3

| 13. Podšívka | |
|--------------|---------------------|
| Složení | PES/ACh |
| Vazba | keprová |
| Vlastnosti | lesk, klouzavý omak |
| Použití | podšívání sak |

Tab. 28 Charakteristika vzorku 13



Obr. 19 Nascanované vrstvy

Okraje této podšívky jsou opálené, hladké, netřepivé. Materiál je tenký, hladký, proto nebylo zapotřebí využívat vysoké výkony. I tři vrstvy šly řezat bez vyšších výkonů, okraje jsou opálené, nespečené. U pěti vrstev nedochází k úplnému prořezání, vrstvy jsou místy spojeny nitkami. Okraje jsou nespečené.

Podšívka

1 vrstva

Řez číslo 3

3 vrstvy

Řez číslo 2

5 vrstev

Řez číslo 2

| 14. Polyamid | |
|--------------|---------------------|
| Složení | PADh |
| Vazba | plátnová |
| Vlastnosti | lesk, klouzavý omak |
| Použití | šaty, letní ošacení |

Tab. 29 Charakteristika vzorku 14



Obr. 20 Nascanované vrstvy

Tato velmi jemná, tenká tkanina šla řezat i při nízkých výkonech a vysokých rychlostech. Také tři vrstvy byly řezány při nízkých výkonech, okraje jsou hladké spečené, netřepivé. Stejně takové výsledky jsme získali řezáním pěti vrstev.

Polyamid

1 vrstva

Řez číslo 3

3 vrstvy

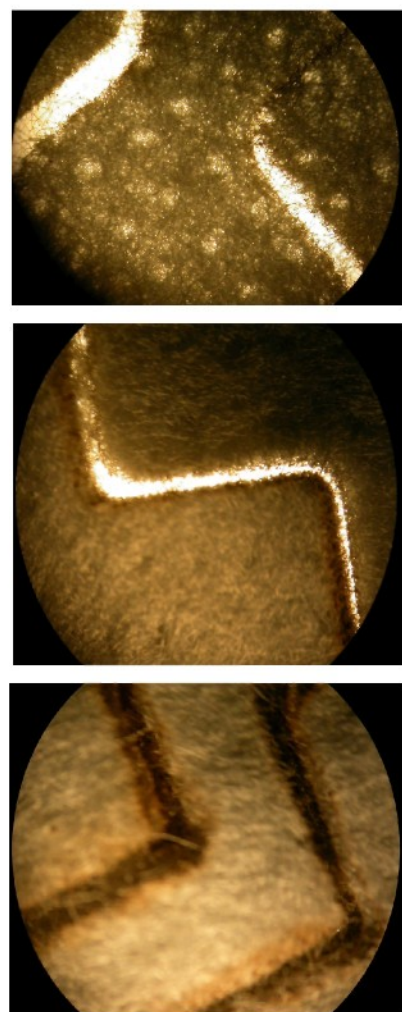
Řez číslo 3

5 vrstev

Řez číslo 3

| 15. Vatex | |
|------------|-----------------------------|
| Složení | 100%PES |
| Struktura | NT |
| Vlastnosti | měkkost, lehkost, objemnost |
| Použití | výplň rukávových hlavic |

Tab. 30 Charakteristika vzorku 15



Obr. 21 Řez vzorkem pod mikroskopem

PES netkaná textilie se řezala dobře, okraje jsou hladké, částečně opálené. I u tří vrstev jsou velmi pěkné, třepivé okraje. Snížením rychlosti bylo řezáno 5 vrstev, okraje jsou opálené, nespečené. Poslední vrstva nebyla prořezána.

Vatex

1 vrstva

Řez číslo 2

3 vrstvy

Řez číslo 1

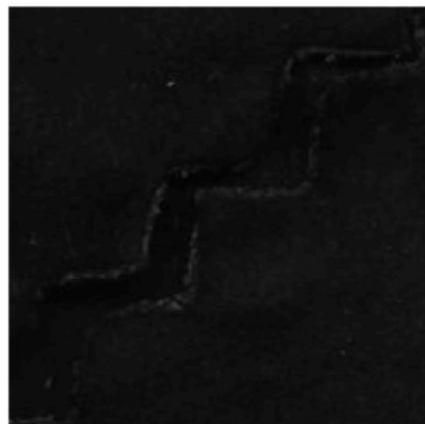
5 vrstev

Řez číslo 4

Přílohouvá část 2
(vzorky použité pro experiment)

| 16. Hovězina | |
|--------------|---------------------|
| Složení | přírodní úseň |
| Struktura | kůže |
| Vlastnosti | měkkost, pevnost |
| Použití | rukavice, interiéry |

Tab. 31 Charakteristika vzorku 16



Obr. 22 Nascanovaný vzorek

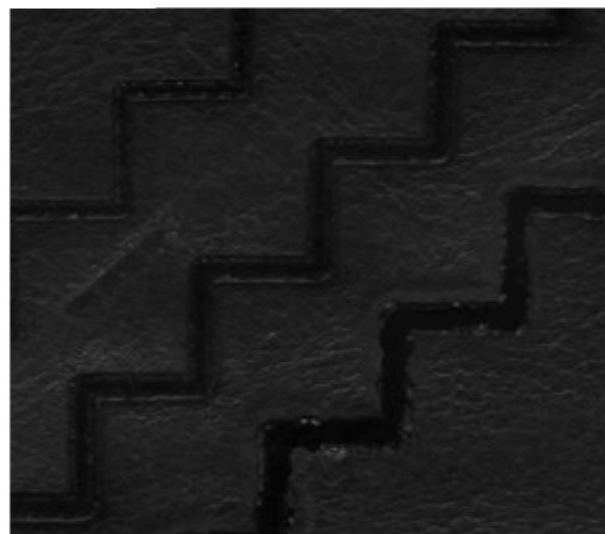
Na kůži byl použit max. výkon 25W, přesto nedošlo k čistému řezu. Kůže se spéká do sebe. Na tento materiál je zapotřebí silnější laserové zařízení, aby materiál nestačil reagovat na paprsek o vysoké teplotě.

Hovězina

1 vrstva

| 17.Koňská kůže | |
|----------------|--------------------|
| Složení | přírodní úseň |
| Struktura | kůže |
| Vlastnosti | pevná, hladká kůže |
| Použití | obuv |

Tab. 32 Charakteristika vzorku 17



Obr. 23 Nascanovaný vzorek

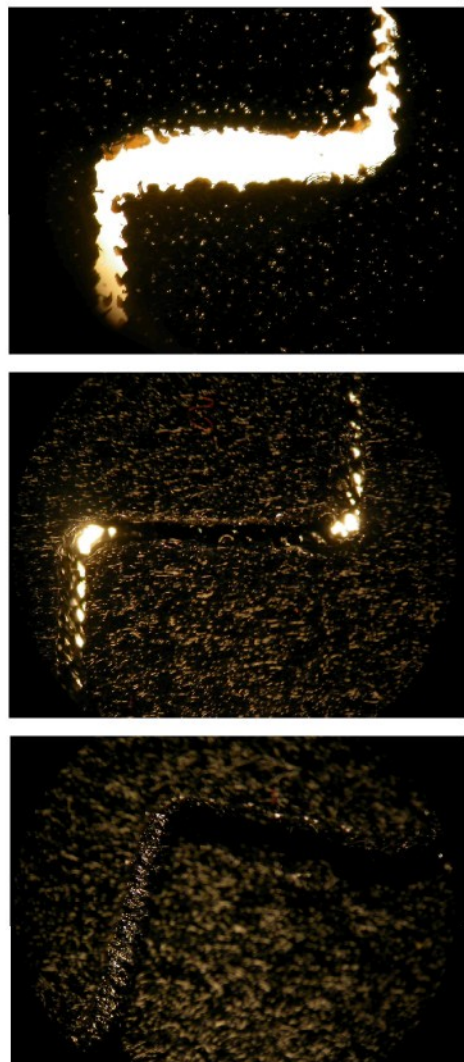
Při maximálním výkonu a minimální rychlosti došlo k prořezání jedné vrstvy kůže, okraje jsou zatavené, černé. Je nutné použít silnější laserové zařízení o vysokém výkonu a vysoké rychlosti.

Koňská kůže

1 vrstva

| 18. Samet | |
|------------|-------------------------------|
| Složení | akryl |
| Vazba | pletenina |
| Vlastnosti | pevnost, tažnost, nemačkavost |
| Použití | pláště, obleky |

Tab. 33 Charakteristika vzorku 18



Obr. 24 Řez vzorkem pod mikroskopem

Tkanina byla řezána bez problémů. Okraje jsou čisté, hladké, netřepivé, příjemně na omak. Stejně tak šly řezat tři vrstvy materiálu. U pěti vrstev byla snížena rychlosť, okraje jsou spečené, vrstvy nejsou zcela prořezané.

Samet

1 vrstva

Řez číslo 3

3 vrstvy

Řez číslo 4

5 vrstev

Řez číslo 2

| 19. Saša + molitan | |
|--------------------|------------------------------------|
| Složení | Saša : PES/WO, molitan – PUR pěna. |
| Struktura | pletenina + NT |
| Vlastnosti | měkkost, nemačkavost |
| Použití | izolace |

Tab. 34 Charakteristika vzorku 19



Obr. 25 Řez vzorkem pod mikroskopem

Tento vrstvený materiál se řezal velmi dobře i při nízkých výkonech. Okraje jsou nespečené, řez je čistý, hladký. V případě tří vrstev není zcela prořezaná spodní vrstva.

Saša + molitan

1 vrstva

Řez číslo 1

3 vrstvy

Řez číslo 3

| 20. Diolen+molitan | |
|--------------------|--------------------------------------|
| Složení | molitan - PUR pěna, diolen – 100%PES |
| Vazba | pletenina + NT |
| Vlastnosti | měkkost, nemačkavost |
| Použití | izolace |

Tab. 35 Charakteristika vzorku 20



Obr. 26 Nascanovaný vzorek

I u tohoto vrstveného materiálu nevznikly problémy s oddělováním jedné vrstvy. Řez je čistý, hladký, okraje nespečené. U tří vrstev bylo využito vysokého výkonu a nízké rychlosti, aby došlo k oddělení vrstev, což se zdařilo, ale okraje jsou spečené.

Diolen + molitan

1 vrstva

Řez číslo 1

3 vrstvy

Řez číslo 3

| 21. Koženka červená | |
|---------------------|---|
| Složení | 100%PAD |
| Vazba | pletenina s pogumovanou povrchovou úpravou |
| Vlastnosti | vrstvená syntetická úseň, skládá se ze dvou vrstev. Podklad tvoří pletenina, na niž je nánosován polymer. |
| Použití | zimní ošacení |

Tab. 36 Charakteristika vzorku 21



Obr. 27 Řez nascanovaného vzorku

Tloušťka tohoto materiálu je velká, proto jsme již pro oddělování jedné vrstvy využily vysoký výkon laseru. I tak je vrstva místy neprořezaná. Proto bylo pro tři vrstvy využito maximálního výkonu a nejnižší rychlosti. I přesto není spodní vrstva prořezaná. Okraje jsou opálené, spečené, nevzhledné.

Koženka červená

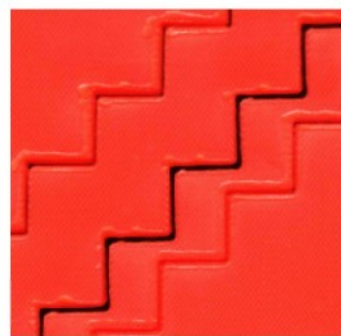
1 vrstva

Řez číslo 1

22. Koženka oranžová

| | |
|------------|---|
| Složení | 100% PAD |
| Vazba | plátnová s pogumovanou povrchovou úpravou |
| Vlastnosti | pevnost, odolnost v oděru |
| Použití | bytové textilie |

Tab.37 Charakteristika vzorku 22



Obr. 27 Nascanovaný vzorek

Oddělování jedné vrstvy probíhalo bez problémů. Okraje se netřepí, jsou zatavené. Oddělováním tří vrstev došlo ke spečení okrajů. Při oddělování pěti vrstev materiálu jsou okraje neoddělitelně spečeny. Materiál je rozřezán po celé délce vrstev

Koženka oranžová

1 vrstva

Řez číslo 1

3 vrstvy

Řez číslo 3

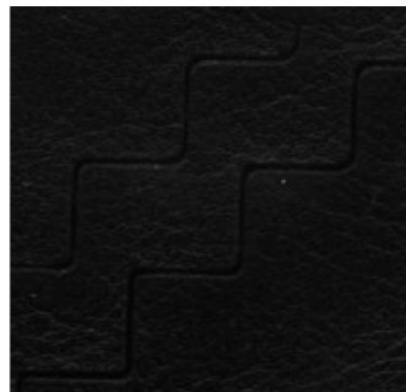
5 vrstev

Řez číslo 3

23. Koženka černá

| | |
|------------|-----------------------------------|
| Složení | polyamidová pletenina + nános PUR |
| Vazba | pletenina s nánosem polymeru |
| Vlastnosti | pevnost, pružnost |
| Použití | imitace kůže |

Tab. 38 Charakteristika vzorku 23



Obr. 29 Nascanovaný vzorek

Řezáním jedné vrstvy nevznikaly větší problémy. Řez je čistý, okraje se částečně třepí. Na tři vrstvy už je náš laser nevhodný. Vrstvy jsou sice odděleny, ale okraje jsou nevhledné, spečené do sebe.

Koženka černá

1 vrstva

Řez číslo 3

24. Vliselín

| | |
|------------|------------------------------------|
| Složení | PES/Vs |
| Struktura | NT |
| Vlastnosti | lesk, pevnost |
| Použití | celoplošné podlepowání lehčích sak |

Tab. 39 Charakteristika vzorku 24



Obr. 31 Řez vzorky pod mikroskopem

Tato netkaná textilie byla řezána při nízkém výkonu. Řez je čistý, okraje se netřepí. U tří vrstev jsme docílili spečení okrajů. Při řezání pěti vrstev došlo ke spečení okrajů. Okraje jsou navíc drsné, nepříjemné na omak.

Vliselín

1 vrstva

Řez číslo 3

3 vrstvy

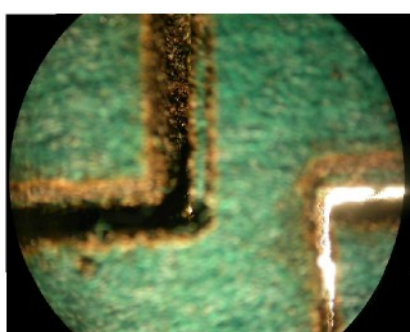
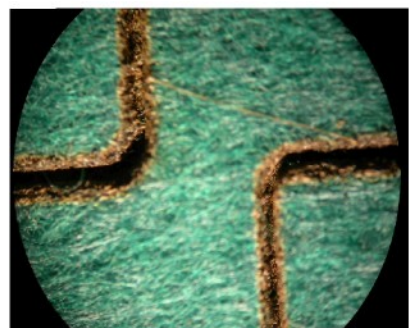
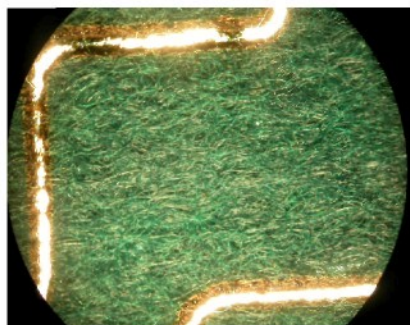
Řez číslo 4

5 vrstev

Řez číslo 3

| 25. Plst | |
|------------|---------------------------|
| Složení | 100% WO |
| Struktura | NT |
| Vlastnosti | měkký omak, hřejivost |
| Použití | spodní límce pánských sak |

Tab. 40 Charakteristika vzorku 25



Obr. 31 Řez vzorky pod mikroskopem

U tohoto materiálu došlo vlivem řezání k zatavení okrajů, okraje se netřepí, řez je hezký. Stejný výsledek jsme získali při řezání tří vrstev. U pěti vrstev už jsou okraje příliš opálené.

Plst

1 vrstva

Řez číslo 3

3 vrstvy

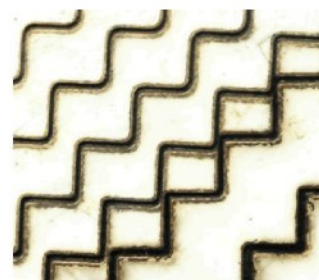
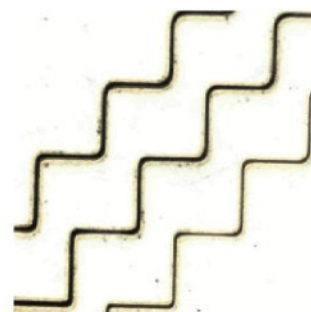
Řez číslo 3

5 vrstev

Řez číslo 2

| 26. Latex | |
|------------|--|
| Složení | 63%PVC, 27%PES, 10%PU |
| Vazba | Pletenina s pogumovanou povrchovou úpravou |
| Vlastnosti | lesk, hladký omak |
| Použití | speciální využití |

Tab. 41 Charakteristika vzorku 26



Obr. 32 Nascanovaný vzorek

U této lesklé tkaniny došlo k prořezání vrstvy v celé délce. Okraje se netřepí. Nečistoty po laserovém paprsku lze otřít hadříkem. Řezáním tří vrstev získáme nevhledné, opálené, černé okraje. Poslední vrstva není prořezaná.

Latex

1 vrstva

Řez číslo 1

3 vrstvy

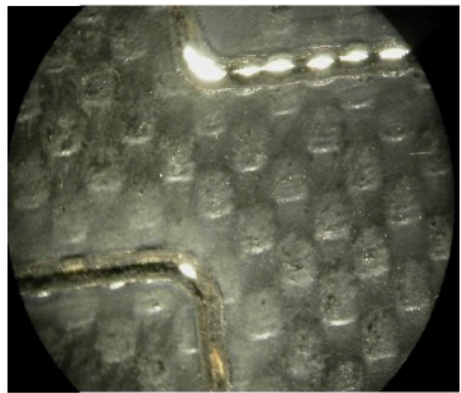
Řez číslo 5

5 vrstev

Řez číslo 1

| 27. Plast | |
|------------|-------------------------------------|
| Složení | PA 6 |
| Struktura | NT |
| Vlastnosti | pevnost, chemická odolnost, tlumení |
| Použití | izolace |

Tab. 42 Charakteristika vzorku 27



Obr. 33 Řez vzorkem pod mikroskopem

Již při řezání jedné vrstvy jsme snižovali rychlosť laseru. I přesto není vrstva zcela prořezaná. Okraje se netřepí. Při řezání tří vrstev jsme získali spečenou rýhu na jedné vrstvě materiálu.

Plast

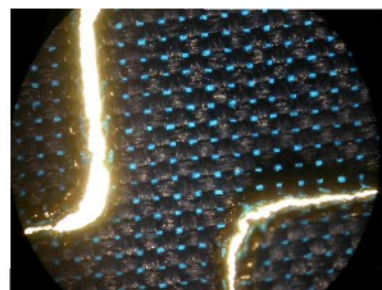
1 vrstva

Řez číslo 2

28. Kortexin

| | |
|------------|------------------------|
| Složení | 100% PES s nánosem PVC |
| Vazba | plátnová |
| Vlastnosti | pevnost |
| Použití | brašny, tašky |

Tab. 43 Charakteristika vzorku 28



Obr. 34 Řez vzorky pod mikroskopem

Okraje tohoto pevného materiálu jsou zatavené, řez je čistý. U tří vrstev došlo ke spečení okrajů a k neúplnému prořezání vrstev. Pět vrstev se nám podařilo oddělit, okraje jsou ovšem spečené a zatavené.

Kortexin

1 vrstva

Řez číslo 1

3 vrstvy

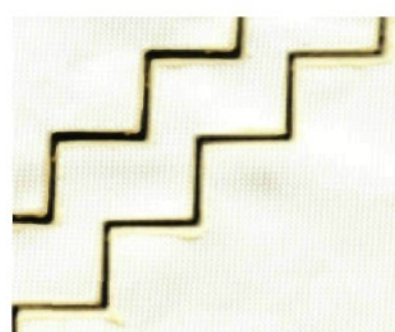
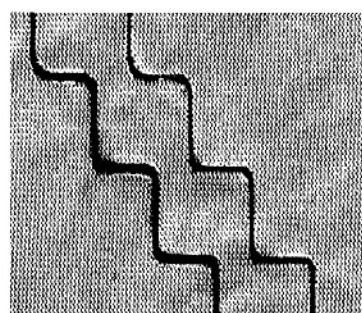
Řez číslo 2

5 vrstev

Řez číslo 2

| 29. Airbag | |
|------------|-------------------------|
| Složení | PA 6.6 |
| Vazba | plátnová |
| Vlastnosti | pevnost, tuhost |
| Použití | výroba předních airbagů |

Tab. 44 Charakteristika vzorku 29



Obr. 35 Nascanovaný vzorek

Pro řezání airbagů je laser velmi vhodný. Okraje se netřepí, řez je čistý.

U 3 vrstev došlo ke spečení okrajů. Stejně tak pět vrstev je neoddělitelně spečeno. Vhodným řešením by bylo vkládat mezi jednotlivé vrstvy materiálu např.papír. Řezy jsou hladké, neopálené.

Airbag

1 vrstva

Řez číslo 2

3 vrstvy

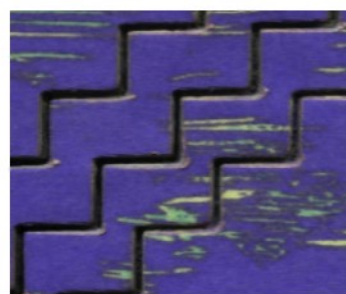
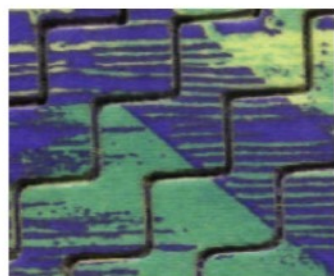
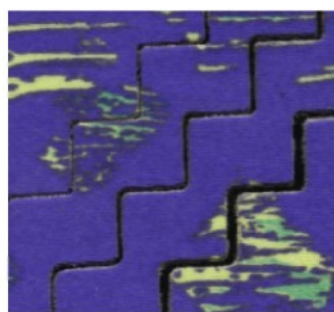
Řez číslo 3

5 vrstev

Řez číslo 2

| 30. Plavkovina | |
|-----------------------|---------------|
| Složení | 79%PAD, 21%EL |
| Struktura | Pletenina |
| Vlastnosti | Pružnost |
| Použití | Plavky |

Tab. 45 Charakteristika vzorku 30



Obr.36 Nascanovaný vzorek

Jedna vrstva tohoto pružného materiálu byla oddělena bez problémů. Okraje se netřepí, řez je hladký.

Tři vrstvy nejsou místy odděleny. Okraje jsou částečně spečeny.

Okraje pěti vrstev jsou neohořelé, hladké, ale spečené a zatavené

Plavkovina

1 vrstva

Řez číslo 3

3 vrstvy

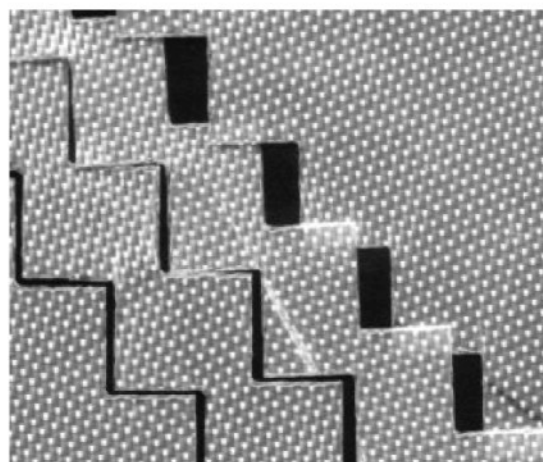
Řez číslo 4

5 vrstev

Řez číslo 1

| 31. Skleněné vlákno | |
|---------------------|-------------------|
| Složení | |
| Vazba | Plátnová |
| Vlastnosti | Pevnost, odolnost |
| Použití | Stavebnictví |

Tab. 46 Charakteristika vzorku 31



Obr.37 Nascanovaný vzorek

Tento materiál se řezal velmi dobře. Okraje jsou čisté, nespečené, třepí se. Řezání laserovým paprskem je pro tento materiál velmi vhodné.

Skleněné vlákno

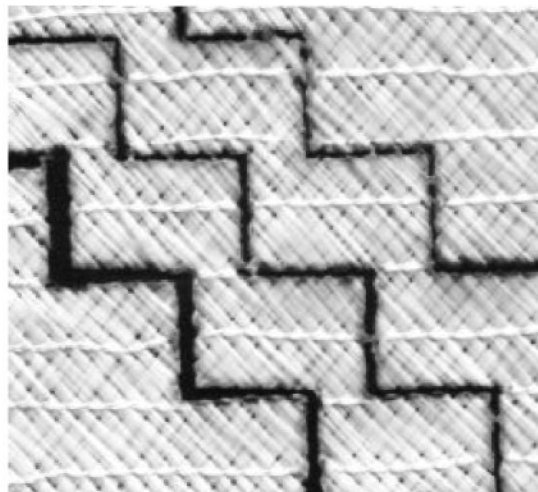
1 vrstva

Řez číslo 1

32. Skleněné vlákno 2

| | |
|------------|-------------------|
| Složení | |
| Vazba | Plátnová |
| Vlastnosti | Pevnost, odolnost |
| Použití | Stavebnictví |

Tab. 47 Nascanovaný vzorek 32



Obr. 38 Nascanovaný vzorek

Tento materiál se řezal velmi dobře. Okraje jsou čisté, nespečené, třepí se. Řezání laserovým paprskem je pro tento materiál velmi vhodné.

Skleněné vlákno 2

1 vrstva

Řez číslo 1